

III.2. INDUSTRIE LITHIQUE DES SONDAGES 3 ET 4. LE DEBITAGE

Jean-Marc LEOTARD* , Pierre FRANCOIS** et Karl ENGESSER**

LE CADRE

Cette étude porte sur plus d'un millier d'éléments de débitage issus des recherches menées aux abords de "l'entrée primitive" de la grotte (sondage 3 et sondage 4). L'outillage, étudié en parallèle par Marcel Otte, est présenté dans un autre chapitre .

Dans le sondage S4, à l'extérieur de la cavité, les carrés L30, M30 et M31 ont été retenus. En effet, ils sont les seuls à avoir permis une exploration suffisamment large et continue sur plus de 2,5 m d'épaisseur. Le sondage S3, nous l'avons signalé plus haut, se situait à l'intérieur de la grotte et fut divisé, suite aux aléas du terrain, en trois sous-sondages : S3, S3a, S3b. L'ensemble des produits de débitage issus de ces trois sous-unités est étudié ici.

Alors que le sondage 4 a produit du matériel lithique de -11,57 m (sous le point géodésique situé sur la butte surmontant la grotte d'Escoural) à -14,45 m, le sondage 3 en a fourni de -13,97 à -16,07 m. Par ailleurs, comme en témoignent les communications naturelles observées dans le réseau karstique entre "l'intérieur" et "l'extérieur", nous pouvons estimer qu'il y a une certaine forme de continuité sédimentaire entre les deux ensembles. A leur sommet, les dépôts du sondage 3 correspondent d'ailleurs à la couche 4 du sondage 4 (voir stratigraphie) et, de manière globale, nous estimons que de -16,07 à -13,50 m (limite moyenne entre les C1-2-3 et la C4 du sondage 4), nous nous trouvons en présence de dépôts colluviés, parfois stratifiés et bien compactés tandis que l'ensemble supérieur à \pm -13,50 m est meuble, remanié et probablement d'âge holocène. L'examen de l'évolution du système karstique permet d'expliquer cette différence. En effet, dans une première phase, cette partie de la cavité étant toujours couverte, les sédiments provenaient d'une entrée située plus au sud, aujourd'hui détruite. Dans une seconde phase, scandée par le démantèlement progressif du plafond de la grotte et marquée par l'ouverture à l'air libre de cette partie du réseau, les colluvions provenant du plateau surmontant la grotte se sont insinuées, par simple gravité, au sein du jeu de failles.

Dans les deux cas, et malgré une singulière augmentation de la richesse à la base de ces 4,5 m de dépôts, rien n'indique la présence de sols d'occupation. Il s'agit toujours de colluvions, ce qui, a priori, réduit la portée de cette analyse.

* Ministère de la Région Wallonne, Service des Fouilles, avenue des Tilleuls 62, 4000 Liège, Belgique.

** Université de Liège, Service de Préhistoire, place du XX Août 7, Bât A1, 4000 Liège, Belgique.

LA METHODE

L'essentiel de l'industrie lithique issue des sondages 3 et 4 d'Escoural a été réalisé sur quartz. La difficulté de lecture de ce matériau est évidente et dans la plupart des cas, elle nous décourage. A Escoural, l'utilisation d'un quartz à fracture légèrement plus conchoïdale associée très souvent à une maîtrise fantastique de ce matériau ingrat nous a permis d'identifier des critères connus et par là, de décider l'étude de ce matériel.

Les tableaux d'inventaire présentés en annexe (tableau 1) sont relatifs à deux grands ensembles : le sondage "extérieur" (S 4) d'une part, et les sondages "intérieurs" (S 3, S 3a et 3b), d'autre part. Les objets sont classés par ordre décroissant d'altitude moyenne.

La localisation des objets est précisée dans les premières colonnes:

- SOND : signifie sondage soit S 4, 3, 3a, 3b,
- Axe CHIFF : indique la mention, éventuelle, du carré fouillé (par exemple L 30)
- Axe CHAR
- ALTI SUP : précisent l'altitude supérieure, moyenne ou inférieure
- ALTI MOY de la découverte, calculée par rapport au point
- ALTI INF géodésique implanté sur la butte d'Escoural.

Apparaît ensuite le MATERIAU : *quartz* pour l'essentiel mais aussi quelques fragments de *silex*, *grès quartzite*, *quartzite*, *schiste* et une *roche métamorphique* indéterminée.

L'unité CATEGORIE retient les classiques *éclats*, *lames* et *nucléus*. On y ajoute le *bloc testé* (bloc de quartz, portant les négatifs de quelques enlèvements, souvent abandonnés en considération de la médiocrité du matériau) et les *cassons* (petits parallélépipèdes, à l'image de la structure orthogonale du quartz, issus du débitage de ce matériau et dont la fracture est incontrôlable).

La colonne TYPE NUCL renseigne les catégories de nucléus. Le type "*parallélépipède*" ne signifie pas que la forme soit l'aboutissement d'une mise en œuvre complète. Bien au contraire, il s'agit ici d'une exploitation basée sur la forme naturellement orthogonale des nodules de quartz dont les arêtes, assimilées à des corniches, sont propices à l'ouverture de surfaces de débitage.

Le *centripète* indique une préparation complexe engendrant les classiques convexités et contours utiles à la production d'éclats standardisés. L'état du débitage est signalé par les classiques *entier*, *proximal*, *mésial* et *distal*; celui des nucléus trop détruits, illisibles, est identifié sous le terme *fragment*.

Dans la mesure où leur lecture fut possible, on trouve ensuite une colonne décrivant les talons (TALON) et la face dorsale (FACE DORS) des enlèvements. Outre la présence de réels négatifs, "*négatif d'éclat*" rassemble sans doute quelques surfaces corticales ou quelques autres très préparées (centripète) pour lesquelles nous n'avons pu trancher. *Négatif de crête* indique la présence d'une préparation latérale par rapport à l'axe de débitage. *Débordant*, enfin, recouvre l'acception classique.

Les colonnes suivantes donnent les dimensions de l'objet exprimées en millimètres, LONG pour longueur, LARG pour largeur et EPAI pour épaisseur, DIAM pour le diamètre des pièces globuleuses et, enfin, le POIDS exprimé en grammes.

Vu leur morphologie, les cassons sont présentés par catégories granulométriques. Ainsi CAS TAILL "3" évoque la taille moyenne d'un casson dont les côtés varient de 2,5 à 3,5 millimètres. CAS NBRE indique le nombre de cassons de cette taille et CAS PDST le poids total de ce paquet de cassons, exprimé en grammes.

Les quelques éléments en silex, grès-quartzite ... ne feront pas l'objet d'une étude détaillée. Ce sont tous des matériaux exogènes arrivés sous forme de produits finis et dont l'origine mérite bien sûr une recherche distincte.

Enfin, certains résultats d'analyses sont produits sur de très courtes séries; ce qui réduit ou anihile la portée de tests statistiques. Pour établir de simples comparaisons, nous avons conservé les tableaux relatifs à ces petites séries mais invitons le lecteur à recourir, pour en connaître la portée exacte, aux données du tableau 1.

L'INDUSTRIE LITHIQUE

Un rapide regard sur la répartition verticale de l'industrie lithique (fig. 1) révèle une diminution progressive du poids du matériel débité, de bas en haut. Toutefois, on note également, au sein de cette régression, l'existence de deux ensembles dont la limite peut être située aux environs de -13,50m. Ce court examen, établi sur la masse débitée, trouve son correspondant dans la lecture de la stratigraphie. En effet, au delà de -13,50 m la séquence est clairement remaniée; elle recèle maints témoignages diachroniques; en deçà, les dépôts semblent mieux préservés.

L'étude de la nature des faces dorsales (fig. 2 et 3), et particulièrement celle des indices "levalloisiens" certains, est révélatrice de ce changement. En effet, en deçà de -14,00m, les trois critères retenus (centripète, levallois, débordant) sont présents conjointement et en grande quantité. Par-dessus les -14,00m, ils sont rares. Cette rupture, flagrante à d'autres égards, nous invite donc à présenter cette industrie en deux chapitres.

LA SEQUENCE REMANIEE (fig. 4 et 5)

Elle est constituée d'un mélange entre des pièces indiquant une longue préparation, de type centripète et d'autres, dont la chaîne opératoire est des plus restreinte. Cette dernière technologie se résume à l'utilisation des arêtes naturelles des blocs orthogonaux de quartz pour engendrer autant de surfaces de débitage et de plans de frappe qu'il y a de faces au bloc. A cette simplicité correspondent des nucléus très massifs, à peine exploités. Aucune convexité n'étant mise en œuvre, ils "avortent" rapidement après la production de quelques éclats.

Cette technique est pratiquée sur un matériau souvent médiocre et mal sélectionné comme le révèle la rareté des tests préalables à son utilisation. Il en résulte donc une forte fragmentation, révélée par la destruction d'une bonne partie des nucléus et par le nombre important de cassons, aboutissant, dans le meilleur des cas, à la production de courtes séries de petits éclats (fig. 6 et tableau 2) dont les talons sont rarement préparés (fig. 7 à 10).

LA SEQUENCE INFERIEURE (fig. 11 et 12)

La lecture du quartz, et particulièrement celle de la préparation méticuleuse présente dans cette série, est évidemment fastidieuse et entraîne plusieurs erreurs d'ordre quantitatif. Néanmoins, on a pu observer les traces de mise en œuvre complexe aboutissant parfois à la production d'éclats axiaux (Levallois), par l'intermédiaire d'éléments débordants (fig. 3).

Le choix du matériau est le premier révélateur de cette technologie. Les nodules testés apportés sur le site sont de bonne qualité et de grande dimension; ils permettent la mise en œuvre de nucléus sophistiqués. Toutefois, on note aussi dans cette série la présence de la technologie décrite ci-dessus où les arêtes des nodules servent d'ancrage à un débitage simple. Ceci peut être l'indice soit de la présence d'une chaîne opératoire parallèle destinée à la production d'éclats, soit au passage obligé du tailleur confronté à un matériau dont les nodules sont parallélépipédiques (fig. 2 et 3).

Il en résulte donc la production de deux séries distinctes de supports; certains sont massifs, peu structurés (fig. 6 et tableau 2), d'autres sont très élaborés comme l'indiquent les caractéristiques de leur face dorsale (fig. 3), de leur talon (fig. 8 à 10) et de leur allongement (fig. 13 et tableau 2).

CONCLUSION

L'examen de la stratigraphie des sondages 3 et 4, associé à celui de la dispersion verticale de l'industrie lithique, indique un démantèlement progressif de niveaux d'occupations dont nous étudions ici les reliquats colluviés.

Toutefois, comme l'indiquent la nature des dépôts et l'absence d'inversion stratigraphique, le processus fut suffisamment lent pour permettre la mise en place, la conservation et donc, a posteriori, l'identification de modes techniques distincts.

La série inférieure est homogène et révèle l'utilisation de technologies sophistiquées appliquées à un matériau complexe mais bien sélectionné. Toutefois, la mise en œuvre de chaînes opératoires longues et compliquées ne donne pas naissance à des produits notoirement plus longs, plus légers. En effet, les contingences du matériau restreignent largement les potentialités de la technique. Cette détermination à vouloir appliquer, à tout prix, et en dépit de la qualité de la production, ces modes techniques indique toute l'importance culturelle de ce comportement.

La série supérieure est un mélange. Si l'on exclut les quelques éléments Levallois, probablement intrusifs, la chaîne opératoire de débitage est des plus simples et vise à la production de supports courts et peu structurés.

A ces deux modes de gestion de la matière première correspond l'outillage dont l'étude est présentée dans un autre chapitre.

| Numero | SOND | AXE | CHIFF | AXE | CHAR | ALTI | SUP | ALT | MOY | ALTI | INF | MATERIAU | CATEGORIE | TYPE | NUCL | ETAT | TALON | FACE | DORS | LONG | LARG | EPAI | DIAM | POIDS | CAS | TAIL | CAS | NBRE | CAS | POST |
|--------|------|-----|-------|-----|------|-------|-------|-----|-----|------|-----|-----------|-----------|--------------------|------|----------|--------------|-----------------|------|------|-------|-------|------|--------|-----|------|-----|------|-----|------|
| 1 | S4 | 30 | L | 30 | L | 11.57 | | | | | | quartz | lame | | | entier | cassé au déb | crête | | 31.0 | 15.0 | 8.0 | | 1.5 | | | | | | |
| 2 | S4 | 30 | L | 30 | L | 11.57 | | | | | | quartz | lame | | | entier | punctiforme | négatif d'éclat | | 29.0 | 10.0 | 5.0 | | 0.5 | | | | | | |
| 3 | S4 | 30 | L | 30 | L | 11.57 | | | | | | quartz | lame | | | entier | cassé au déb | négatif d'éclat | | 13.0 | 14.0 | 3.0 | | 0.5 | | | | | | |
| 4 | S4 | 30 | L | 30 | L | 11.57 | | | | | | quartz | lame | | | entier | | | | | | | | | | | | | | |
| 5 | S4 | 30 | L | 30 | L | 11.57 | | | | | | quartz | lame | | | entier | | | | | | | | | | | | | | |
| 6 | S4 | 30 | M | 30 | M | 11.84 | | | | | | quartz | nucléus | parallélépipédique | | entier | facetté | centripète | | 37.0 | 35.0 | 23.0 | | 43.0 | | | | | | |
| 7 | S4 | 31 | M | 31 | M | 11.88 | | | | | | quartz | nucléus | parallélépipédique | | entier | | | | 48.0 | 44.0 | 35.0 | | 7.0 | | | | | | |
| 8 | S4 | 30 | L | 30 | L | 11.97 | | | | | | quartz | nucléus | | | fragment | | | | 60.0 | 48.0 | 27.0 | | 86.0 | | | | | | |
| 9 | S4 | 30 | L | 30 | L | 11.97 | | | | | | quartz | nucléus | | | entier | cassé au déb | négatif d'éclat | | 19.0 | 12.0 | 4.0 | | 0.5 | | | | | | |
| 10 | S4 | 30 | L | 30 | L | 11.97 | | | | | | quartz | nucléus | | | entier | | | | | | | | | | | | | | |
| 11 | S4 | 30 | L | 30 | L | 11.97 | | | | | | quartz | nucléus | | | entier | | | | | | | | | | | | | | |
| 12 | S4 | 30 | L | 30 | L | 11.97 | | | | | | quartz | nucléus | | | entier | | | | | | | | | | | | | | |
| 13 | S4 | 30 | L | 30 | L | 12.40 | 12.23 | | | | | quartzite | éclat | | | entier | diédre | négatif d'éclat | | 18.0 | 29.0 | 9.0 | | 2.0 | | | | | | |
| 14 | S4 | 30 | L | 30 | L | 12.40 | 12.23 | | | | | quartzite | éclat | | | entier | diédre | négatif d'éclat | | 20.0 | 20.0 | 5.0 | | 1.0 | | | | | | |
| 15 | S4 | 30 | L | 30 | L | 12.40 | 12.23 | | | | | quartz | éclat | | | entier | cortical | négatif d'éclat | | 20.0 | 14.0 | 8.0 | | 1.0 | | | | | | |
| 16 | S4 | 30 | L | 30 | L | 12.40 | 12.23 | | | | | quartz | éclat | | | entier | facetté | négatif d'éclat | | 23.0 | 16.0 | 5.0 | | 1.0 | | | | | | |
| 17 | S4 | 30 | M | 30 | M | 12.40 | 12.30 | | | | | quartz | éclat | | | entier | | | | | | | | | | | | | | |
| 18 | S4 | 30 | M | 30 | M | 12.40 | 12.30 | | | | | quartz | éclat | | | entier | | | | | | | | | | | | | | |
| 19 | S4 | 30 | M | 30 | M | 12.53 | 12.42 | | | | | quartz | éclat | | | entier | lisse | négatif d'éclat | | 41.0 | 43.0 | 11.0 | | 13.0 | | | | | | |
| 20 | S4 | 30 | M | 30 | M | 12.53 | 12.42 | | | | | quartz | éclat | | | entier | lisse | négatif d'éclat | | 43.0 | 32.0 | 29.0 | | 44.0 | | | | | | |
| 21 | S4 | 30 | M | 30 | M | 12.53 | 12.42 | | | | | quartz | éclat | | | entier | lisse | négatif d'éclat | | 93.0 | 71.0 | 23.0 | | 173.0 | | | | | | |
| 22 | S4 | 30 | M | 30 | M | 12.53 | 12.42 | | | | | quartz | éclat | | | entier | lisse | négatif d'éclat | | 47.0 | 45.0 | 11.0 | | 21.0 | | | | | | |
| 23 | S4 | 30 | M | 30 | M | 12.53 | 12.42 | | | | | quartz | éclat | | | entier | lisse | cortical | | 33.0 | 42.0 | 9.0 | | 17.0 | | | | | | |
| 24 | S4 | 30 | M | 30 | M | 12.53 | 12.42 | | | | | quartz | éclat | | | entier | facetté | négatif d'éclat | | 37.0 | 32.0 | 4.0 | | 8.0 | | | | | | |
| 25 | S4 | 30 | M | 30 | M | 12.53 | 12.42 | | | | | quartz | éclat | | | entier | cassé au déb | négatif d'éclat | | 19.0 | 27.0 | 5.0 | | 2.0 | | | | | | |
| 26 | S4 | 30 | M | 30 | M | 12.53 | 12.42 | | | | | quartz | éclat | | | entier | facetté | centripète | | 30.0 | 40.0 | 10.0 | | 14.0 | | | | | | |
| 27 | S4 | 30 | L | 30 | L | 12.54 | 12.44 | | | | | quartz | éclat | | | entier | lisse | négatif d'éclat | | 50.0 | 31.0 | 12.0 | | 4.0 | | | | | | |
| 28 | S4 | 30 | L | 30 | L | 12.54 | 12.44 | | | | | quartz | éclat | | | entier | lisse | négatif d'éclat | | 21.0 | 16.0 | 4.0 | | 1.0 | | | | | | |
| 29 | S4 | 30 | L | 30 | L | 12.54 | 12.44 | | | | | quartz | éclat | | | entier | cassé au déb | négatif d'éclat | | 25.0 | 20.0 | 8.0 | | 4.0 | | | | | | |
| 30 | S4 | 30 | L | 30 | L | 12.54 | 12.44 | | | | | quartz | éclat | | | entier | lisse | négatif d'éclat | | 25.0 | 20.0 | 8.0 | | 3.0 | | | | | | |
| 31 | S4 | 30 | L | 30 | L | 12.54 | 12.44 | | | | | quartz | éclat | | | entier | diédre | négatif d'éclat | | 19.0 | 30.0 | 7.0 | | 4.0 | | | | | | |
| 32 | S4 | 30 | L | 30 | L | 12.54 | 12.44 | | | | | quartz | éclat | | | entier | diédre | négatif d'éclat | | 17.0 | 22.0 | 6.0 | | 1.0 | | | | | | |
| 33 | S4 | 30 | L | 30 | L | 12.54 | 12.44 | | | | | quartz | éclat | | | entier | diédre | négatif d'éclat | | 14.0 | 14.0 | 4.0 | | 0.5 | | | | | | |
| 34 | S4 | 30 | L | 30 | L | 12.54 | 12.44 | | | | | quartz | éclat | | | entier | punctiforme | négatif d'éclat | | 15.0 | 20.0 | 5.0 | | 0.5 | | | | | | |
| 35 | S4 | 30 | L | 30 | L | 12.54 | 12.44 | | | | | quartz | éclat | | | entier | punctiforme | négatif d'éclat | | 15.0 | 17.0 | 4.0 | | 0.5 | | | | | | |
| 36 | S4 | 30 | L | 30 | L | 12.54 | 12.44 | | | | | quartz | éclat | | | entier | punctiforme | négatif d'éclat | | 15.0 | 17.0 | 4.0 | | 0.5 | | | | | | |
| 37 | S4 | 30 | L | 30 | L | 12.54 | 12.44 | | | | | quartz | éclat | | | entier | punctiforme | négatif d'éclat | | 12.0 | 7.0 | 2.0 | | 0.5 | | | | | | |
| 38 | S4 | 30 | L | 30 | L | 12.61 | 12.54 | | | | | quartz | éclat | | | entier | punctiforme | négatif d'éclat | | 54.0 | 26.0 | 5.0 | | 3.0 | | | | | | |
| 39 | S4 | 30 | L | 30 | L | 12.61 | 12.54 | | | | | quartz | éclat | | | entier | punctiforme | négatif d'éclat | | 81.0 | 125.0 | 108.0 | | 1302.0 | | | | | | |
| 40 | S4 | 30 | L | 30 | L | 12.61 | 12.54 | | | | | quartz | nucléus | parallélépipédique | | entier | | | | 7.0 | 67.0 | 38.0 | | 223.0 | | | | | | |
| 41 | S4 | 30 | L | 30 | L | 12.61 | 12.54 | | | | | quartz | nucléus | parallélépipédique | | entier | cassé au déb | négatif d'éclat | | 22.0 | 17.0 | 7.0 | | 2.0 | | | | | | |
| 42 | S4 | 30 | L | 30 | L | 12.61 | 12.54 | | | | | quartz | éclat | | | entier | cassé au déb | négatif d'éclat | | 23.0 | 17.0 | 6.0 | | 1.5 | | | | | | |
| 43 | S4 | 30 | L | 30 | L | 12.61 | 12.54 | | | | | quartz | éclat | | | entier | facetté | négatif d'éclat | | 27.0 | 24.0 | 8.0 | | 5.0 | | | | | | |
| 44 | S4 | 30 | L | 30 | L | 12.61 | 12.54 | | | | | quartz | éclat | | | entier | facetté | négatif d'éclat | | 14.0 | 16.0 | 5.0 | | 0.5 | | | | | | |
| 45 | S4 | 30 | L | 30 | L | 12.61 | 12.54 | | | | | quartz | éclat | | | entier | facetté | négatif d'éclat | | 14.0 | 16.0 | 5.0 | | 0.5 | | | | | | |
| 46 | S4 | 30 | L | 30 | L | 12.61 | 12.54 | | | | | quartz | éclat | | | entier | facetté | négatif d'éclat | | 14.0 | 16.0 | 5.0 | | 0.5 | | | | | | |
| 47 | S4 | 30 | L | 30 | L | 12.61 | 12.54 | | | | | quartz | éclat | | | entier | facetté | négatif d'éclat | | 14.0 | 16.0 | 5.0 | | 0.5 | | | | | | |
| 48 | S4 | 30 | L | 30 | L | 12.61 | 12.54 | | | | | quartz | éclat | | | entier | facetté | négatif d'éclat | | 14.0 | 16.0 | 5.0 | | 0.5 | | | | | | |
| 49 | S4 | 30 | L | 30 | L | 12.68 | 12.63 | | | | | quartz | éclat | | | entier | facetté | négatif d'éclat | | 26.0 | 17.0 | 7.0 | | 2.0 | | | | | | |
| 50 | S4 | 30 | L | 30 | L | 12.68 | 12.63 | | | | | quartz | éclat | | | entier | cassé au déb | négatif d'éclat | | 34.0 | 21.0 | 7.0 | | 5.0 | | | | | | |
| 51 | S4 | 30 | L | 30 | L | 12.68 | 12.63 | | | | | quartz | éclat | | | entier | cassé au déb | négatif d'éclat | | 34.0 | 21.0 | 7.0 | | 5.0 | | | | | | |
| 52 | S4 | 30 | L | 30 | L | 12.78 | 12.73 | | | | | quartz | éclat | | | entier | facetté | négatif d'éclat | | 18.0 | 19.0 | 8.0 | | 1.0 | | | | | | |
| 53 | S4 | 30 | L | 30 | L | 12.78 | 12.73 | | | | | quartz | éclat | | | entier | facetté | négatif d'éclat | | 17.0 | 15.0 | 4.0 | | 0.5 | | | | | | |
| 54 | S4 | 30 | L | 30 | L | 12.78 | 12.73 | | | | | quartz | éclat | | | entier | facetté | négatif d'éclat | | 17.0 | 15.0 | 4.0 | | 0.5 | | | | | | |
| 55 | S4 | 30 | L | 30 | L | 12.86 | 12.83 | | | | | quartz | nucléus | parallélépipédique | | entier | facetté | négatif d'éclat | | 77.0 | 63.0 | 40.0 | | 212.0 | | | | | | |
| 56 | S4 | 30 | L | 30 | L | 12.86 | 12.83 | | | | | quartz | éclat | | | entier | facetté | négatif d'éclat | | 20.0 | 32.0 | 6.0 | | 2.5 | | | | | | |
| 57 | S4 | 30 | L | 30 | L | 12.88 | 12.83 | | | | | quartz | éclat | | | entier | facetté | négatif d'éclat | | 20.0 | 32.0 | 6.0 | | 2.5 | | | | | | |
| 58 | S4 | 30 | L | 30 | L | 12.88 | 12.83 | | | | | quartz | éclat | | | entier | cassé au déb | négatif d'éclat | | 28.0 | 15.0 | 7.0 | | 1.0 | | | | | | |
| 59 | S4 | 30 | L | 30 | L | 12.90 | 12.84 | | | | | quartz | éclat | | | entier | cassé au déb | négatif d'éclat | | 28.0 | 15.0 | 7.0 | | 1.0 | | | | | | |

| Numéro | SOND | AXE | CHIFF | AXE | CHAR | ALTI. | INF. | MATERIAU | CATEGORIE | TYPE_NUCL | ETAT | TALON | FACE_DORS | LONG | LARG | EPAI | DIAM | POIDS | CAS_TAIL | CAS_NBRE | CAS_POST |
|--------|------|-------|-------|--------|--------|--------|--------|------------|-----------|-----------|-------|-------|------------------|------|------|------|-------|-------|----------|----------|----------|
| 119 | S4 | 30 | M | -13,38 | -13,38 | -13,43 | quartz | bloc testé | éclat | entier | lisse | lisse | néglatif d'éclat | 71,0 | 53,0 | 46,0 | 223,0 | | | | |
| 120 | S4 | 30 | M | -13,33 | -13,33 | -13,43 | quartz | éclat | éclat | entier | lisse | lisse | néglatif d'éclat | 59,0 | 61,0 | 25,0 | 66,0 | | | | |
| 121 | S4 | 30 | M | -13,33 | -13,33 | -13,43 | quartz | lame | lame | entier | lisse | lisse | néglatif de lame | 42,0 | 18,0 | 8,0 | 6,0 | | | | |
| 122 | S4 | 30 | M | -13,33 | -13,33 | -13,43 | quartz | lame | lame | entier | lisse | lisse | néglatif de lame | 38,0 | 21,0 | 12,0 | 8,0 | | | | |
| 123 | S4 | 30 | M | -13,33 | -13,33 | -13,43 | quartz | lame | lame | entier | lisse | lisse | néglatif de lame | 38,0 | 21,0 | 12,0 | 8,0 | | | | |
| 124 | S4 | 30 | M | -13,33 | -13,33 | -13,43 | quartz | lame | lame | entier | lisse | lisse | néglatif de lame | 38,0 | 21,0 | 12,0 | 8,0 | | | | |
| 125 | S4 | 30 | M | -13,33 | -13,33 | -13,43 | quartz | lame | lame | entier | lisse | lisse | néglatif de lame | 38,0 | 21,0 | 12,0 | 8,0 | | | | |
| 126 | S4 | 30 | M | -13,33 | -13,33 | -13,43 | quartz | lame | lame | entier | lisse | lisse | néglatif de lame | 38,0 | 21,0 | 12,0 | 8,0 | | | | |
| 127 | S4 | 30 | L | -13,36 | -13,41 | -13,46 | quartz | nucléus | nucléus | entier | lisse | lisse | néglatif d'éclat | 32,0 | 13,0 | 7,0 | 35 | 45,0 | | | |
| 128 | S4 | 30 | L | -13,36 | -13,41 | -13,46 | quartz | lame | lame | distal | lisse | lisse | néglatif d'éclat | 18,0 | 20,0 | 7,0 | 1,0 | | | | |
| 129 | S4 | 30 | L | -13,36 | -13,41 | -13,46 | quartz | lame | lame | distal | lisse | lisse | néglatif d'éclat | 18,0 | 20,0 | 7,0 | 1,0 | | | | |
| 130 | S4 | 30 | L | -13,36 | -13,41 | -13,46 | quartz | lame | lame | distal | lisse | lisse | néglatif d'éclat | 18,0 | 20,0 | 7,0 | 1,0 | | | | |
| 131 | S4 | 30 | L | -13,36 | -13,41 | -13,46 | quartz | lame | lame | distal | lisse | lisse | néglatif d'éclat | 18,0 | 20,0 | 7,0 | 1,0 | | | | |
| 132 | S4 | 30 | L | -13,36 | -13,41 | -13,46 | quartz | lame | lame | distal | lisse | lisse | néglatif d'éclat | 18,0 | 20,0 | 7,0 | 1,0 | | | | |
| 133 | S4 | 30 | L | -13,36 | -13,41 | -13,46 | quartz | lame | lame | distal | lisse | lisse | néglatif d'éclat | 18,0 | 20,0 | 7,0 | 1,0 | | | | |
| 134 | S4 | 30 | M | -13,42 | -13,47 | -13,52 | quartz | lame | lame | entier | lisse | lisse | néglatif d'éclat | 21,0 | 23,0 | 7,0 | 1,0 | | | | |
| 135 | S4 | 30 | M | -13,42 | -13,47 | -13,52 | quartz | lame | lame | entier | lisse | lisse | néglatif d'éclat | 21,0 | 23,0 | 7,0 | 1,0 | | | | |
| 136 | S4 | 30 | M | -13,42 | -13,47 | -13,52 | quartz | lame | lame | entier | lisse | lisse | néglatif d'éclat | 21,0 | 23,0 | 7,0 | 1,0 | | | | |
| 137 | S4 | 30 | L | -13,46 | -13,48 | -13,50 | quartz | nucléus | nucléus | entier | lisse | lisse | néglatif d'éclat | 38,0 | 29,0 | 22,0 | 40,0 | | | | |
| 138 | S4 | 30 | L | -13,46 | -13,48 | -13,50 | quartz | nucléus | nucléus | entier | lisse | lisse | néglatif d'éclat | 35,0 | 28,0 | 20,0 | 20,0 | | | | |
| 139 | S4 | 30 | L | -13,46 | -13,48 | -13,50 | quartz | nucléus | nucléus | entier | lisse | lisse | néglatif d'éclat | 37,0 | 8,0 | 10,0 | 3,0 | | | | |
| 140 | S4 | 30 | L | -13,46 | -13,48 | -13,50 | quartz | nucléus | nucléus | entier | lisse | lisse | néglatif d'éclat | 36,0 | 28,0 | 10,0 | 10,0 | | | | |
| 141 | S4 | 30 | L | -13,46 | -13,48 | -13,50 | quartz | nucléus | nucléus | entier | lisse | lisse | néglatif d'éclat | 22,0 | 41,0 | 9,0 | 9,0 | | | | |
| 142 | S4 | 30 | L | -13,46 | -13,48 | -13,50 | quartz | nucléus | nucléus | entier | lisse | lisse | néglatif d'éclat | 22,0 | 17,0 | 5,0 | 1,0 | | | | |
| 143 | S4 | 30 | L | -13,46 | -13,48 | -13,50 | quartz | nucléus | nucléus | entier | lisse | lisse | néglatif d'éclat | 22,0 | 17,0 | 5,0 | 1,0 | | | | |
| 144 | S4 | 30 | L | -13,46 | -13,48 | -13,50 | quartz | nucléus | nucléus | entier | lisse | lisse | néglatif d'éclat | 22,0 | 17,0 | 5,0 | 1,0 | | | | |
| 145 | S4 | 30 | L | -13,46 | -13,48 | -13,50 | quartz | nucléus | nucléus | entier | lisse | lisse | néglatif d'éclat | 22,0 | 17,0 | 5,0 | 1,0 | | | | |
| 146 | S4 | 30 | L | -13,46 | -13,48 | -13,50 | quartz | nucléus | nucléus | entier | lisse | lisse | néglatif d'éclat | 22,0 | 17,0 | 5,0 | 1,0 | | | | |
| 147 | S4 | 30 | L | -13,46 | -13,48 | -13,50 | quartz | nucléus | nucléus | entier | lisse | lisse | néglatif d'éclat | 22,0 | 17,0 | 5,0 | 1,0 | | | | |
| 148 | S4 | 30 | L | -13,46 | -13,48 | -13,50 | quartz | nucléus | nucléus | entier | lisse | lisse | néglatif d'éclat | 22,0 | 17,0 | 5,0 | 1,0 | | | | |
| 149 | S4 | 30 | L | -13,46 | -13,48 | -13,50 | quartz | nucléus | nucléus | entier | lisse | lisse | néglatif d'éclat | 22,0 | 17,0 | 5,0 | 1,0 | | | | |
| 150 | S4 | 30 | L | -13,46 | -13,48 | -13,50 | quartz | nucléus | nucléus | entier | lisse | lisse | néglatif d'éclat | 22,0 | 17,0 | 5,0 | 1,0 | | | | |
| 151 | S3 | 31 | M | -13,47 | -13,52 | -13,57 | quartz | éclat | éclat | entier | lisse | lisse | néglatif d'éclat | 19,0 | 22,0 | 7,0 | 2,0 | | | | |
| 152 | S3 | 31 | M | -13,50 | -13,55 | -13,60 | quartz | éclat | éclat | entier | lisse | lisse | néglatif d'éclat | 26,0 | 11,0 | 4,0 | 2,0 | | | | |
| 153 | S4 | 31 | M | -13,50 | -13,55 | -13,60 | quartz | éclat | éclat | entier | lisse | lisse | néglatif d'éclat | 26,0 | 11,0 | 4,0 | 2,0 | | | | |
| 154 | S4 | 31 | M | -13,50 | -13,55 | -13,60 | quartz | éclat | éclat | entier | lisse | lisse | néglatif d'éclat | 26,0 | 11,0 | 4,0 | 2,0 | | | | |
| 155 | S4 | 31 | M | -13,50 | -13,55 | -13,60 | quartz | éclat | éclat | entier | lisse | lisse | néglatif d'éclat | 26,0 | 11,0 | 4,0 | 2,0 | | | | |
| 156 | S4 | 30 | M | -13,52 | -13,57 | -13,62 | quartz | éclat | éclat | entier | lisse | lisse | néglatif d'éclat | 30,0 | 25,0 | 9,0 | 6,0 | | | | |
| 157 | S4 | 30 | M | -13,52 | -13,57 | -13,62 | quartz | éclat | éclat | entier | lisse | lisse | néglatif d'éclat | 30,0 | 25,0 | 9,0 | 6,0 | | | | |
| 158 | S4 | 30 | M | -13,52 | -13,57 | -13,62 | quartz | éclat | éclat | entier | lisse | lisse | néglatif d'éclat | 30,0 | 25,0 | 9,0 | 6,0 | | | | |
| 159 | S4 | 30 | M | -13,52 | -13,57 | -13,62 | quartz | éclat | éclat | entier | lisse | lisse | néglatif d'éclat | 30,0 | 25,0 | 9,0 | 6,0 | | | | |
| 160 | S4 | 30 | M | -13,52 | -13,57 | -13,62 | quartz | éclat | éclat | entier | lisse | lisse | néglatif d'éclat | 30,0 | 25,0 | 9,0 | 6,0 | | | | |
| 161 | S4 | 30 | M | -13,52 | -13,57 | -13,62 | quartz | éclat | éclat | entier | lisse | lisse | néglatif d'éclat | 30,0 | 25,0 | 9,0 | 6,0 | | | | |
| 162 | S4 | 30 | M | -13,52 | -13,57 | -13,62 | quartz | éclat | éclat | entier | lisse | lisse | néglatif d'éclat | 30,0 | 25,0 | 9,0 | 6,0 | | | | |
| 163 | S4 | 30 | M | -13,52 | -13,57 | -13,62 | quartz | éclat | éclat | entier | lisse | lisse | néglatif d'éclat | 30,0 | 25,0 | 9,0 | 6,0 | | | | |
| 164 | S4 | 30 | M | -13,52 | -13,57 | -13,62 | quartz | éclat | éclat | entier | lisse | lisse | néglatif d'éclat | 30,0 | 25,0 | 9,0 | 6,0 | | | | |
| 165 | S4 | 30 | M | -13,52 | -13,57 | -13,62 | quartz | éclat | éclat | entier | lisse | lisse | néglatif d'éclat | 30,0 | 25,0 | 9,0 | 6,0 | | | | |
| 166 | S4 | 30-31 | M | -13,65 | -13,70 | -13,75 | quartz | éclat | éclat | entier | lisse | lisse | néglatif d'éclat | 57,0 | 61,0 | 39,0 | 119,0 | | | | |
| 167 | S4 | 30-31 | M | -13,65 | -13,70 | -13,75 | quartz | éclat | éclat | entier | lisse | lisse | néglatif d'éclat | 59,0 | 42,0 | 30,0 | 63,0 | | | | |
| 168 | S4 | 30-31 | M | -13,65 | -13,70 | -13,75 | quartz | éclat | éclat | entier | lisse | lisse | néglatif d'éclat | 30,0 | 34,0 | 9,0 | 9,0 | | | | |
| 169 | S4 | 30-31 | M | -13,65 | -13,70 | -13,75 | quartz | éclat | éclat | entier | lisse | lisse | néglatif d'éclat | 35,0 | 22,0 | 7,0 | 8,0 | | | | |
| 170 | S4 | 30-31 | M | -13,65 | -13,70 | -13,75 | quartz | éclat | éclat | entier | lisse | lisse | néglatif d'éclat | 33,0 | 24,0 | 10,0 | 9,0 | | | | |
| 171 | S4 | 30-31 | M | -13,65 | -13,70 | -13,75 | quartz | éclat | éclat | entier | lisse | lisse | néglatif d'éclat | 36,0 | 21,0 | 7,0 | 5,0 | | | | |
| 172 | S4 | 30-31 | M | -13,65 | -13,70 | -13,75 | quartz | éclat | éclat | entier | lisse | lisse | néglatif d'éclat | 34,0 | 30,0 | 8,0 | 8,0 | | | | |
| 173 | S4 | 30-31 | M | -13,65 | -13,70 | -13,75 | quartz | éclat | éclat | entier | lisse | lisse | néglatif d'éclat | 34,0 | 30,0 | 8,0 | 8,0 | | | | |
| 174 | S4 | 30-31 | M | -13,65 | -13,70 | -13,75 | quartz | éclat | éclat | entier | lisse | lisse | néglatif d'éclat | 35,0 | 28,0 | 10,0 | 6,0 | | | | |
| 175 | S4 | 30-31 | M | -13,65 | -13,70 | -13,75 | quartz | éclat | éclat | entier | lisse | lisse | néglatif d'éclat | 35,0 | 19,0 | 8,0 | 3,0 | | | | |
| 176 | S4 | 30-31 | M | -13,65 | -13,70 | -13,75 | quartz | éclat | éclat | entier | lisse | lisse | néglatif d'éclat | 28,0 | 18,0 | 8,0 | 2,0 | | | | |
| 177 | S4 | 30-31 | M | -13,65 | -13,70 | -13,75 | quartz | éclat | éclat | entier | lisse | lisse | néglatif d'éclat | 28,0 | 20,0 | 8,0 | 4,0 | | | | |

| Numéro | SOND | AXE | CHIFF | AXE | CHAR | AXE | ALTI. | SUP | ALTI. | MOY | ALTI. | INF | MATERIAU | CATEGORIE | TYPE_NUCL | ETAT | TALON | FACE_DORS | LONG | LARG | EPAI | DIAM | POIDS | CAS_TAIL | CAS_NBRE | CAS_POST | |
|---------|-------|-----|--------|--------|--------|--------|---------------------|------------|------------|-----|-------|-----|----------|-----------|-----------|------------------|-------------|------------------|------------------|-------|------|------|-------|----------|----------|----------|--|
| 178 s4 | 30-31 | M | -13.65 | -13.70 | -13.70 | -13.75 | quartz | éclat | éclat | | | | | | | entier | facetté | | 19.0 | 24.0 | 7.0 | | 2.0 | | | | |
| 179 s4 | 30-31 | M | -13.65 | -13.70 | -13.70 | -13.75 | quartz | éclat | éclat | | | | | | | entier | casé au déb | cortical | 21.0 | 11.0 | 5.0 | | 0.5 | | | | |
| 180 s4 | 30-31 | M | -13.65 | -13.70 | -13.70 | -13.75 | quartz | éclat | éclat | | | | | | | distal | casé au déb | néglatif d'éclat | 13.0 | 16.0 | 4.0 | | 0.5 | | | | |
| 181 s4 | 30-31 | M | -13.65 | -13.70 | -13.70 | -13.75 | quartz | lame | lame | | | | | | | entier | casé au déb | néglatif d'éclat | 24.0 | 11.0 | 4.0 | | 0.5 | | | | |
| 182 s4 | 30-31 | M | -13.65 | -13.70 | -13.70 | -13.75 | quartz | casson | casson | | | | | | | | | | | | | | | 6.0 | 1 | 91 | |
| 183 s4 | 30-31 | M | -13.65 | -13.70 | -13.70 | -13.75 | quartz | casson | casson | | | | | | | | | | | | | | | 4.0 | 1 | 7 | |
| 184 s4 | 30-31 | M | -13.65 | -13.70 | -13.70 | -13.75 | quartz | casson | casson | | | | | | | | | | | | | | | 2.0 | 6 | | |
| 185 s4 | 30-31 | M | -13.65 | -13.70 | -13.70 | -13.75 | roche métamorphique | éclat | éclat | | | | | | | | entier | lisse | néglatif d'éclat | 31.0 | 41.0 | 9.0 | | 14.0 | | | |
| 186 s4 | 30-31 | M | -13.75 | -13.80 | -13.80 | -13.85 | quartz | éclat | éclat | | | | | | | entier | punciforme | cortical | 33.0 | 34.0 | 14.0 | | 13.0 | | | | |
| 187 s4 | 30-31 | M | -13.75 | -13.80 | -13.80 | -13.85 | quartz | éclat | éclat | | | | | | | entier | lisse | néglatif d'éclat | 31.0 | 22.0 | 8.0 | | 4.0 | | | | |
| 188 s4 | 30-31 | M | -13.75 | -13.80 | -13.80 | -13.85 | quartz | éclat | éclat | | | | | | | entier | facetté | néglatif d'éclat | 25.0 | 22.0 | 6.0 | | 5.0 | | | | |
| 189 s4 | 30-31 | M | -13.75 | -13.80 | -13.80 | -13.85 | quartz | éclat | éclat | | | | | | | entier | lisse | centripète | 25.0 | 23.0 | 6.0 | | 2.0 | | | | |
| 190 s4 | 30-31 | M | -13.75 | -13.80 | -13.80 | -13.85 | quartz | éclat | éclat | | | | | | | entier | lisse | centripète | 42.0 | 37.0 | 13.0 | | 20.0 | | | | |
| 191 s4 | 30-31 | M | -13.75 | -13.80 | -13.80 | -13.85 | quartz | casson | casson | | | | | | | | | | | | | | | 5.0 | 1 | 21 | |
| 192 s4 | 30-31 | M | -13.75 | -13.80 | -13.80 | -13.85 | quartz | casson | casson | | | | | | | | | | | | | | | 3.0 | 4 | 17 | |
| 193 s4 | 30-31 | M | -13.75 | -13.80 | -13.80 | -13.85 | quartz | casson | casson | | | | | | | | | | | | | | | 2.0 | 4 | 4 | |
| 194 s4 | 30-31 | M | -13.78 | -13.88 | -13.88 | -13.97 | roche métamorphique | éclat | éclat | | | | | | | distal | | néglatif d'éclat | 26.0 | 25.0 | 7.0 | | 8.0 | | | | |
| 195 s4 | 30-31 | M | -13.78 | -13.88 | -13.88 | -13.97 | quartz | bloc testé | bloc testé | | | | | | | | | | | | | | | 18.0 | | | |
| 196 s4 | 30-31 | M | -13.78 | -13.88 | -13.88 | -13.97 | quartz | bloc testé | bloc testé | | | | | | | | | | | | | | | 76.0 | | | |
| 197 s4 | 30-31 | M | -13.78 | -13.88 | -13.88 | -13.97 | quartz | éclat | éclat | | | | | | | entier | casé au déb | néglatif d'éclat | 33.0 | 42.0 | 13.0 | | 16.0 | | | | |
| 198 s4 | 30-31 | M | -13.78 | -13.88 | -13.88 | -13.97 | quartz | éclat | éclat | | | | | | | entier | lisse | néglatif d'éclat | 30.0 | 49.0 | 15.0 | | 21.0 | | | | |
| 199 s4 | 30-31 | M | -13.78 | -13.88 | -13.88 | -13.97 | quartz | éclat | éclat | | | | | | | entier | lisse | néglatif d'éclat | 20.0 | 16.0 | 3.0 | | 6.0 | | | | |
| 200 s4 | 30-31 | M | -13.78 | -13.88 | -13.88 | -13.97 | quartz | éclat | éclat | | | | | | | distal | lisse | néglatif d'éclat | 39.0 | 25.0 | 12.0 | | 10.0 | | | | |
| 201 s4 | 30-31 | M | -13.78 | -13.88 | -13.88 | -13.97 | quartz | éclat | éclat | | | | | | | entier | lisse | néglatif d'éclat | 41.0 | 19.0 | 7.0 | | 6.0 | | | | |
| 202 s4 | 30-31 | M | -13.78 | -13.88 | -13.88 | -13.97 | quartz | lame | lame | | | | | | | entier | casé au déb | néglatif de lame | 45.0 | 25.0 | 8.0 | | 6.0 | | | | |
| 203 s4 | 30-31 | M | -13.78 | -13.88 | -13.88 | -13.97 | quartz | lame | lame | | | | | | | entier | lisse | néglatif de lame | 45.0 | 25.0 | 8.0 | | 6.0 | | | | |
| 204 s4 | 30-31 | M | -13.78 | -13.88 | -13.88 | -13.97 | quartz | casson | casson | | | | | | | | | | | | | | | 4.0 | 1 | 10 | |
| 205 s4 | 30-31 | M | -13.78 | -13.88 | -13.88 | -13.97 | quartz | casson | casson | | | | | | | | | | | | | | | 3.0 | 2 | 11 | |
| 206 s4 | 30-31 | M | -13.78 | -13.88 | -13.88 | -13.97 | quartz | casson | casson | | | | | | | | | | | | | | | 2.0 | 4 | 16 | |
| 207 s3 | | | -13.92 | -13.97 | -13.97 | -14.02 | quartz | bloc testé | bloc testé | | | | | | | | | | | | | | | 104.0 | | | |
| 208 s3 | | | -13.92 | -13.97 | -13.97 | -14.02 | quartz | bloc testé | bloc testé | | | | | | | | | | | | | | | 27.0 | | | |
| 209 s3 | | | -13.92 | -13.97 | -13.97 | -14.02 | quartz | nucléus | nucléus | | | | | | | fragment | | | | | | | | 20.0 | | | |
| 210 s3 | | | -13.92 | -13.97 | -13.97 | -14.02 | quartz | nucléus | nucléus | | | | | | | parallépipédique | | | | | | | | 8.0 | 3 | 190 | |
| 211 s3 | | | -13.92 | -13.97 | -13.97 | -14.02 | quartz | casson | casson | | | | | | | | | | | | | | | 2.0 | 3 | 6 | |
| 212 s3a | | | -13.92 | -13.97 | -13.97 | -14.02 | quartz | casson | casson | | | | | | | | | | | | | | | 3.0 | 1 | 3 | |
| 213 s3a | | | -13.92 | -13.97 | -13.97 | -14.02 | quartz | éclat | éclat | | | | | | | entier | lisse | néglatif d'éclat | 30.0 | 20.0 | 12.0 | | 7.0 | | | | |
| 214 s3a | | | -13.92 | -13.97 | -13.97 | -14.02 | quartz | éclat | éclat | | | | | | | entier | lisse | néglatif d'éclat | 18.0 | 14.0 | 6.0 | | 2.0 | | | | |
| 215 s4 | 30-31 | M | -14.00 | -14.05 | -14.05 | -14.10 | quartz | éclat | éclat | | | | | | | entier | cortical | cortical | 45.0 | 47.0 | 14.0 | | 32.0 | | | | |
| 216 s4 | 30-31 | M | -14.00 | -14.05 | -14.05 | -14.10 | quartz | éclat | éclat | | | | | | | entier | cortical | cortical | 15.0 | 23.0 | 7.0 | | 1.0 | | | | |
| 217 s4 | 30-31 | M | -14.00 | -14.05 | -14.05 | -14.10 | quartz | éclat | éclat | | | | | | | entier | facetté | centripète | 32.0 | 19.0 | 5.0 | | 5.0 | | | | |
| 218 s4 | 30-31 | M | -14.00 | -14.05 | -14.05 | -14.10 | quartz | éclat | éclat | | | | | | | entier | facetté | centripète | 28.0 | 22.0 | 7.0 | | 3.0 | | | | |
| 219 s4 | 30-31 | M | -14.00 | -14.05 | -14.05 | -14.10 | quartz | éclat | éclat | | | | | | | entier | lisse | centripète | 29.0 | 30.0 | 11.0 | | 6.0 | | | | |
| 220 s4 | 30-31 | M | -14.00 | -14.05 | -14.05 | -14.10 | quartz | casson | casson | | | | | | | entier | lisse | centripète | 68.0 | 41.0 | 28.0 | | 78.0 | | | | |
| 221 s4 | 30-31 | M | -14.00 | -14.05 | -14.05 | -14.10 | quartz | casson | casson | | | | | | | entier | lisse | néglatif d'éclat | 27.0 | 18.0 | 8.0 | | 3.0 | | | | |
| 222 s3 | | | -14.02 | -14.07 | -14.07 | -14.12 | quartz | nucléus | nucléus | | | | | | | | | | | | | | | 2.0 | 3 | 7 | |
| 223 s3 | | | -14.02 | -14.07 | -14.07 | -14.12 | quartz | éclat | éclat | | | | | | | entier | lisse | néglatif d'éclat | 11.0 | 12.0 | 2.5 | | 0.5 | | | | |
| 224 s3 | | | -14.02 | -14.07 | -14.07 | -14.12 | quartz | casson | casson | | | | | | | distal | mesial | cortical | 52.0 | 24.0 | 2.0 | | 2.0 | | | | |
| 225 s3a | | | -14.02 | -14.07 | -14.07 | -14.12 | silex | éclat | éclat | | | | | | | proximal | facetté | centripète | 27.0 | 27.5 | 8.0 | | 5.0 | | | | |
| 226 s3a | | | -14.02 | -14.07 | -14.07 | -14.12 | quartz | éclat | éclat | | | | | | | mesial | facetté | crête bilaterale | 29.0 | 14.0 | 8.0 | | 2.0 | | | | |
| 227 s3a | | | -14.02 | -14.07 | -14.07 | -14.12 | quartz | éclat | éclat | | | | | | | | | | | | | | | 6.0 | 1 | 47 | |
| 228 s3a | | | -14.02 | -14.07 | -14.07 | -14.12 | quartz | casson | casson | | | | | | | | | | | | | | | 3.0 | 1 | 5 | |
| 229 s3a | | | -14.02 | -14.07 | -14.07 | -14.12 | quartz | casson | casson | | | | | | | | | | | | | | | 2.0 | 9 | 18 | |
| 230 s3a | | | -14.02 | -14.07 | -14.07 | -14.12 | quartz | casson | casson | | | | | | | | | | | | | | | 1.0 | 4 | 2 | |
| 231 s3a | | | -14.02 | -14.07 | -14.07 | -14.12 | quartz | casson | casson | | | | | | | | | | | | | | | 1379.0 | | | |
| 232 s3a | | | -14.02 | -14.07 | -14.07 | -14.12 | quartz | nucléus | nucléus | | | | | | | entier | lisse | néglatif d'éclat | 82.0 | 122.0 | 95.0 | | 8.0 | | | | |
| 233 s4 | 30-31 | M | -14.10 | -14.15 | -14.15 | -14.20 | quartz | éclat | éclat | | | | | | | entier | lisse | néglatif d'éclat | 32.0 | 22.0 | 11.0 | | 8.0 | | | | |
| 234 s4 | 30-31 | M | -14.10 | -14.15 | -14.15 | -14.20 | quartz | éclat | éclat | | | | | | | entier | lisse | néglatif d'éclat | 33.0 | 24.0 | 12.0 | | 8.0 | | | | |
| 235 s4 | 30-31 | M | -14.10 | -14.15 | -14.15 | -14.20 | quartz | éclat | éclat | | | | | | | entier | lisse | cortical | 44.0 | 29.0 | 10.0 | | 13.0 | | | | |
| 236 s4 | 30-31 | M | -14.10 | -14.15 | -14.15 | -14.20 | quartz | éclat | éclat | | | | | | | entier | lisse | cortical | 44.0 | 29.0 | 10.0 | | 13.0 | | | | |

| Numero | SOND | AXE_CHIFF | AXE_CHAR | ALT_INF | ALT_MOY | ALT_SUP | MATERIAU | CATEGORIE | TYPE_NUCL | ETAT | TALON | FACE_DORS | LONG | LARG | EPAI | DIAM | POIDS | CAS_TAIL | CAS_NBRE | CAS_POST |
|--------|------|-----------|----------|---------|---------|---------|----------|------------|--------------------|----------|-------------|------------------|------|------|------|------|-------|----------|----------|----------|
| 237 | s4 | 30-31 | M | -14.10 | -14.15 | -14.10 | quartz | casson | parallélépipédique | entier | lisse | crête naturelle | | | | | | 7.0 | 1 | 30 |
| 238 | s4 | 30-31 | M | -14.10 | -14.15 | -14.20 | quartz | casson | | proximal | lisse | centripète | | | | | | 5.0 | 1 | 12 |
| 239 | s4 | 30-31 | M | -14.10 | -14.15 | -14.20 | quartz | casson | | entier | facetté | négaif d'éclat | | | | | | 4.0 | 1 | 8 |
| 240 | s4 | 30-31 | M | -14.10 | -14.15 | -14.20 | quartz | casson | | entier | facetté | centripète | | | | | | 3.0 | 6 | 30 |
| 241 | s4 | 30-31 | M | -14.10 | -14.15 | -14.20 | quartz | casson | | entier | facetté | centripète | | | | | | 2.0 | 4 | 6 |
| 242 | s4 | 30-31 | M | -14.10 | -14.15 | -14.20 | quartz | casson | | entier | facetté | centripète | | | | | | 2.0 | 4 | 6 |
| 243 | s3 | 30-31 | M | -14.12 | -14.17 | -14.22 | quartz | casson | | entier | facetté | centripète | | | | | | 1.0 | 6 | 5 |
| 244 | s3a | 30-31 | M | -14.12 | -14.17 | -14.22 | quartz | nucléus | parallélépipédique | entier | lisse | négaif d'éclat | 72.0 | 65.0 | 44.0 | | 110.0 | | 1 | 7 |
| 245 | s3a | 30-31 | M | -14.12 | -14.17 | -14.22 | quartz | éclat | | entier | lisse | crête naturelle | 80.0 | 45.0 | 29.0 | | 121.0 | | | |
| 246 | s3a | 30-31 | M | -14.12 | -14.17 | -14.22 | quartz | éclat | | proximal | lisse | centripète | 22.0 | 16.0 | 5.0 | | 1.0 | | | |
| 247 | s3a | 30-31 | M | -14.12 | -14.17 | -14.22 | quartz | éclat | | proximal | facetté | négaif d'éclat | 14.0 | 14.0 | 5.0 | | 1.0 | | | |
| 248 | s3a | 30-31 | M | -14.12 | -14.17 | -14.22 | quartz | éclat | | entier | facetté | centripète | 37.0 | 22.0 | 10.0 | | 6.0 | | | |
| 249 | s3a | 30-31 | M | -14.12 | -14.17 | -14.22 | quartz | éclat | | entier | facetté | centripète | 36.0 | 18.0 | 10.0 | | 5.0 | | | |
| 250 | s3a | 30-31 | M | -14.12 | -14.17 | -14.22 | quartz | éclat | | mésial | facetté | négaif d'éclat | 20.0 | 12.0 | 4.5 | | 1.0 | | | |
| 251 | s3a | 30-31 | M | -14.12 | -14.17 | -14.22 | quartz | casson | | entier | facetté | | | | | | 3.0 | 1 | 9 | |
| 252 | s3a | 30-31 | M | -14.12 | -14.17 | -14.22 | quartz | casson | | entier | facetté | | | | | | 2.0 | 3 | 10 | |
| 253 | s3a | 30-31 | M | -14.12 | -14.17 | -14.22 | quartz | casson | | entier | facetté | | | | | | 1.0 | 2 | 1 | |
| 254 | s3 | 30-31 | M | -14.22 | -14.27 | -14.32 | quartz | éclat | | entier | facetté | négaif d'éclat | 42.0 | 27.0 | 11.0 | | 12.0 | | | |
| 255 | s3 | 30-31 | M | -14.22 | -14.27 | -14.32 | quartz | éclat | | mésial | facetté | négaif d'éclat | 19.0 | 35.0 | 10.0 | | 4.0 | | | |
| 256 | s3 | 30-31 | M | -14.22 | -14.27 | -14.32 | quartz | éclat | | entier | facetté | négaif d'éclat | 25.0 | 30.0 | 11.0 | | 5.0 | | | |
| 257 | s3 | 30-31 | M | -14.22 | -14.27 | -14.32 | quartz | éclat | | entier | facetté | négaif d'éclat | 29.0 | 24.0 | 7.0 | | 4.0 | | | |
| 258 | s3 | 30-31 | M | -14.22 | -14.27 | -14.32 | quartz | éclat | | entier | lisse | négaif d'éclat | 16.0 | 15.0 | 6.0 | | 1.0 | | | |
| 259 | s3a | 30-31 | M | -14.22 | -14.27 | -14.32 | quartz | casson | | entier | lisse | | | | | | 3.0 | 2 | 14 | |
| 260 | s3 | 30-31 | M | -14.22 | -14.27 | -14.32 | quartz | casson | | entier | lisse | | | | | | 2.0 | 7 | 10 | |
| 261 | s3 | 30-31 | M | -14.22 | -14.27 | -14.32 | quartz | casson | | entier | lisse | | | | | | 1.0 | 1 | 1 | |
| 262 | s3a | 30-31 | M | -14.22 | -14.27 | -14.32 | quartz | casson | | entier | lisse | | | | | | 44 | 145.0 | | |
| 263 | s3a | 30-31 | M | -14.22 | -14.27 | -14.32 | quartz | bloc testé | | proximal | lisse | négaif d'éclat | 55.0 | 46.0 | 35.0 | | 101.0 | | | |
| 264 | s3a | 30-31 | M | -14.22 | -14.27 | -14.32 | quartz | éclat | | distal | lisse | négaif d'éclat | 40.0 | 34.0 | 10.0 | | 17.0 | | | |
| 265 | s3a | 30-31 | M | -14.22 | -14.27 | -14.32 | quartz | éclat | | entier | facetté | centripète | 35.0 | 29.0 | 8.0 | | 8.0 | | | |
| 266 | s3a | 30-31 | M | -14.22 | -14.27 | -14.32 | quartz | éclat | | entier | facetté | centripète | 16.0 | 22.0 | 6.0 | | 1.0 | | | |
| 267 | s3a | 30-31 | M | -14.22 | -14.27 | -14.32 | quartz | éclat | | distal | facetté | négaif d'éclat | 19.0 | 11.5 | 3.0 | | 1.0 | | | |
| 268 | s3a | 30-31 | M | -14.22 | -14.27 | -14.32 | quartz | casson | | entier | lisse | | | | | | 3.0 | 1 | 5 | |
| 269 | s3a | 30-31 | M | -14.22 | -14.27 | -14.32 | quartz | casson | | entier | lisse | | | | | | 2.0 | 4 | 4 | |
| 270 | s3a | 30-31 | M | -14.22 | -14.27 | -14.32 | quartz | casson | | entier | lisse | | | | | | 1.0 | 2 | 1 | |
| 271 | s4 | 30-31 | M | -14.30 | -14.35 | -14.40 | quartz | bloc testé | | entier | lisse | crête bilatérale | 73.0 | 60.0 | 44.0 | | 231.0 | | | |
| 272 | s4 | 30-31 | M | -14.30 | -14.35 | -14.40 | quartz | éclat | | entier | facetté | négaif d'éclat | 68.0 | 45.0 | 20.0 | | 42.0 | | | |
| 273 | s4 | 30-31 | M | -14.30 | -14.35 | -14.40 | quartz | éclat | | entier | facetté | négaif d'éclat | 27.0 | 23.0 | 6.0 | | 4.0 | | | |
| 274 | s4 | 30-31 | M | -14.30 | -14.35 | -14.40 | quartz | éclat | | entier | facetté | centripète | 30.0 | 26.0 | 7.0 | | 4.0 | | | |
| 275 | s4 | 30-31 | M | -14.30 | -14.35 | -14.40 | quartz | éclat | | entier | lisse | négaif d'éclat | 21.0 | 22.0 | 7.0 | | 1.0 | | | |
| 276 | s4 | 30-31 | M | -14.30 | -14.35 | -14.40 | quartz | éclat | | entier | lisse | négaif d'éclat | 33.0 | 18.0 | 7.0 | | 4.0 | | | |
| 277 | s4 | 30-31 | M | -14.30 | -14.35 | -14.40 | quartz | éclat | | entier | punctiforme | centripète | 22.0 | 16.0 | 6.0 | | 1.0 | | | |
| 278 | s4 | 30-31 | M | -14.30 | -14.35 | -14.40 | quartz | éclat | | entier | lisse | négaif d'éclat | 26.0 | 20.0 | 9.0 | | 5.0 | | | |
| 279 | s4 | 30-31 | M | -14.30 | -14.35 | -14.40 | quartz | éclat | | distal | lisse | négaif d'éclat | 25.0 | 23.0 | 8.0 | | 4.0 | | | |
| 280 | s4 | 30-31 | M | -14.30 | -14.35 | -14.40 | quartz | casson | | entier | lisse | | | | | | | 4.0 | 1 | 8 |
| 281 | s4 | 30-31 | M | -14.30 | -14.35 | -14.40 | quartz | casson | | entier | lisse | | | | | | | 3.0 | 5 | 17 |
| 282 | s4 | 30-31 | M | -14.30 | -14.35 | -14.40 | quartz | casson | | entier | lisse | | | | | | | 2.0 | 5 | 7 |
| 283 | s4 | 30-31 | M | -14.30 | -14.35 | -14.40 | quartz | casson | | entier | lisse | | | | | | | 1.0 | 5 | 3 |
| 284 | s3 | 30-31 | M | -14.32 | -14.37 | -14.42 | quartz | éclat | | mésial | facetté | négaif d'éclat | 17.0 | 11.0 | 4.0 | | 0.5 | | | |
| 285 | s3 | 30-31 | M | -14.32 | -14.37 | -14.42 | quartz | casson | | entier | facetté | négaif d'éclat | 21.0 | 12.0 | 5.0 | | 1.0 | | | |
| 286 | s3a | 30-31 | M | -14.32 | -14.37 | -14.42 | quartz | éclat | | entier | facetté | négaif d'éclat | | | | | | | | |
| 287 | s3a | 30-31 | M | -14.32 | -14.37 | -14.42 | quartz | casson | | entier | facetté | négaif d'éclat | | | | | | | | |
| 288 | s3a | 30-31 | M | -14.32 | -14.37 | -14.42 | quartz | casson | | entier | facetté | négaif d'éclat | | | | | | | | |
| 289 | s3a | 30-31 | M | -14.32 | -14.37 | -14.42 | quartz | casson | | entier | facetté | négaif d'éclat | | | | | | | | |
| 290 | s3a | 30-31 | M | -14.32 | -14.37 | -14.42 | quartz | casson | | entier | facetté | négaif d'éclat | | | | | | | | |
| 291 | s4 | 30-31 | M | -14.40 | -14.45 | -14.50 | quartz | nucléus | parallélépipédique | entier | facetté | | 71.0 | 58.0 | 39.0 | | 226.0 | | | |
| 292 | s4 | 30-31 | M | -14.40 | -14.45 | -14.50 | quartz | nucléus | parallélépipédique | entier | facetté | | 63.0 | 53.0 | 42.0 | | 132.0 | | | |
| 293 | s4 | 30-31 | M | -14.40 | -14.45 | -14.50 | quartz | éclat | | entier | facetté | négaif d'éclat | 48.0 | 62.0 | 14.0 | | 35.0 | | | |
| 294 | s4 | 30-31 | M | -14.40 | -14.45 | -14.50 | quartz | éclat | | distal | facetté | négaif d'éclat | 27.0 | 22.0 | 7.0 | | 4.0 | | | |
| 295 | s4 | 30-31 | M | -14.40 | -14.45 | -14.50 | quartz | éclat | | mésial | facetté | négaif d'éclat | 24.0 | 39.0 | 13.0 | | 12.0 | | | |

| Numéro | SOND | AXE | CHIFF | AXE | CHAR | AXE | ALTI_SUP | ALTI_MOY | ALTI_INF | MATERIAU | CATEGORIE | TYPE_NUCL | ETAT | TALON | FACE_DORS | LONG | LARG | EPAI | DIAM | POIDS | CAS_TAIL | CAS_NBRE | CAS_POST |
|--------|------|-------|-------|--------|--------|--------|----------|------------|----------|-------------|-----------|-----------|------|-------|-----------|------|------|------|------|-------|----------|----------|----------|
| 296 | s4 | 30-31 | M | -14,40 | -14,45 | -14,50 | quartz | éclat | entier | casé au déb | conical | 52,0 | 30,0 | 10,0 | 18,0 | 4,0 | 4 | 71 | | | | | |
| 297 | s4 | 30-31 | M | -14,40 | -14,45 | -14,50 | quartz | casson | entier | | | | | | | | | | | | | | |
| 298 | s4 | 30-31 | M | -14,40 | -14,45 | -14,50 | quartz | casson | entier | | | | | | | | | | | | | | |
| 299 | s4 | 30-31 | M | -14,40 | -14,45 | -14,50 | quartz | casson | entier | | | | | | | | | | | | | | |
| 300 | s3 | | | -14,42 | -14,47 | -14,52 | silic | éclat | distal | | | | | | | | | | | | | | |
| 301 | s3 | | | -14,42 | -14,47 | -14,52 | quartz | bloc testé | entier | | | | | | | | | | | | | | |
| 302 | s3 | | | -14,42 | -14,47 | -14,52 | quartz | bloc testé | entier | | | | | | | | | | | | | | |
| 303 | s3 | | | -14,42 | -14,47 | -14,52 | quartz | éclat | entier | | | | | | | | | | | | | | |
| 304 | s3 | | | -14,42 | -14,47 | -14,52 | quartz | éclat | entier | | | | | | | | | | | | | | |
| 305 | s3 | | | -14,42 | -14,47 | -14,52 | quartz | éclat | entier | | | | | | | | | | | | | | |
| 306 | s3 | | | -14,42 | -14,47 | -14,52 | quartz | éclat | entier | | | | | | | | | | | | | | |
| 307 | s3 | | | -14,42 | -14,47 | -14,52 | quartz | casson | entier | | | | | | | | | | | | | | |
| 308 | s3 | | | -14,42 | -14,47 | -14,52 | quartz | casson | entier | | | | | | | | | | | | | | |
| 309 | s3 | | | -14,42 | -14,47 | -14,52 | quartz | casson | entier | | | | | | | | | | | | | | |
| 310 | s3a | | | -14,42 | -14,47 | -14,52 | quartz | nucléus | fragment | | | | | | | | | | | | | | |
| 311 | s3a | | | -14,42 | -14,47 | -14,52 | quartz | éclat | entier | | | | | | | | | | | | | | |
| 312 | s3a | | | -14,42 | -14,47 | -14,52 | quartz | éclat | distal | | | | | | | | | | | | | | |
| 313 | s3a | | | -14,42 | -14,47 | -14,52 | quartz | éclat | entier | | | | | | | | | | | | | | |
| 314 | s3a | | | -14,42 | -14,47 | -14,52 | quartz | éclat | entier | | | | | | | | | | | | | | |
| 315 | s3a | | | -14,42 | -14,47 | -14,52 | quartz | éclat | entier | | | | | | | | | | | | | | |
| 316 | s3a | | | -14,42 | -14,47 | -14,52 | quartz | éclat | entier | | | | | | | | | | | | | | |
| 317 | s3a | | | -14,42 | -14,47 | -14,52 | quartz | éclat | entier | | | | | | | | | | | | | | |
| 318 | s3a | | | -14,42 | -14,47 | -14,52 | quartz | casson | entier | | | | | | | | | | | | | | |
| 319 | s3a | | | -14,42 | -14,47 | -14,52 | quartz | casson | entier | | | | | | | | | | | | | | |
| 320 | s3a | | | -14,42 | -14,47 | -14,52 | quartz | casson | entier | | | | | | | | | | | | | | |
| 321 | s3 | | | -14,52 | -14,57 | -14,62 | quartz | bloc testé | entier | | | | | | | | | | | | | | |
| 322 | s3 | | | -14,52 | -14,57 | -14,62 | quartz | éclat | entier | | | | | | | | | | | | | | |
| 323 | s3 | | | -14,52 | -14,57 | -14,62 | quartz | éclat | entier | | | | | | | | | | | | | | |
| 324 | s3 | | | -14,52 | -14,57 | -14,62 | quartz | éclat | entier | | | | | | | | | | | | | | |
| 325 | s3 | | | -14,52 | -14,57 | -14,62 | quartz | casson | entier | | | | | | | | | | | | | | |
| 326 | s3 | | | -14,52 | -14,57 | -14,62 | quartz | casson | entier | | | | | | | | | | | | | | |
| 327 | s3 | | | -14,52 | -14,57 | -14,62 | quartz | casson | entier | | | | | | | | | | | | | | |
| 328 | s3 | | | -14,52 | -14,57 | -14,62 | quartz | casson | entier | | | | | | | | | | | | | | |
| 329 | s3 | | | -14,52 | -14,57 | -14,62 | quartz | casson | entier | | | | | | | | | | | | | | |
| 330 | s3a | | | -14,52 | -14,57 | -14,62 | quartz | bloc testé | entier | | | | | | | | | | | | | | |
| 331 | s3a | | | -14,52 | -14,57 | -14,62 | quartz | bloc testé | entier | | | | | | | | | | | | | | |
| 332 | s3a | | | -14,52 | -14,57 | -14,62 | quartz | nucléus | fragment | | | | | | | | | | | | | | |
| 333 | s3a | | | -14,52 | -14,57 | -14,62 | quartz | nucléus | fragment | | | | | | | | | | | | | | |
| 334 | s3a | | | -14,52 | -14,57 | -14,62 | quartz | casson | entier | | | | | | | | | | | | | | |
| 335 | s3a | | | -14,52 | -14,57 | -14,62 | quartz | casson | entier | | | | | | | | | | | | | | |
| 336 | s3 | | | -14,62 | -14,67 | -14,72 | quartz | bloc testé | entier | | | | | | | | | | | | | | |
| 337 | s3 | | | -14,62 | -14,67 | -14,72 | quartz | nucléus | entier | | | | | | | | | | | | | | |
| 338 | s3 | | | -14,62 | -14,67 | -14,72 | quartz | nucléus | entier | | | | | | | | | | | | | | |
| 339 | s3 | | | -14,62 | -14,67 | -14,72 | quartz | éclat | entier | | | | | | | | | | | | | | |
| 340 | s3 | | | -14,62 | -14,67 | -14,72 | quartz | éclat | entier | | | | | | | | | | | | | | |
| 341 | s3 | | | -14,62 | -14,67 | -14,72 | quartz | éclat | entier | | | | | | | | | | | | | | |
| 342 | s3 | | | -14,62 | -14,67 | -14,72 | quartz | éclat | mésial | | | | | | | | | | | | | | |
| 343 | s3 | | | -14,62 | -14,67 | -14,72 | quartz | éclat | entier | | | | | | | | | | | | | | |
| 344 | s3 | | | -14,62 | -14,67 | -14,72 | quartz | casson | entier | | | | | | | | | | | | | | |
| 345 | s3 | | | -14,62 | -14,67 | -14,72 | quartz | casson | entier | | | | | | | | | | | | | | |
| 346 | s3 | | | -14,62 | -14,67 | -14,72 | quartz | casson | entier | | | | | | | | | | | | | | |
| 347 | s3a | | | -14,62 | -14,67 | -14,72 | quartz | éclat | entier | | | | | | | | | | | | | | |
| 348 | s3a | | | -14,62 | -14,67 | -14,72 | quartz | casson | entier | | | | | | | | | | | | | | |
| 349 | s3 | | | -14,72 | -14,77 | -14,82 | quartz | bloc testé | fragment | | | | | | | | | | | | | | |
| 350 | s3 | | | -14,72 | -14,77 | -14,82 | quartz | bloc testé | entier | | | | | | | | | | | | | | |
| 351 | s3 | | | -14,72 | -14,77 | -14,82 | quartz | nucléus | entier | | | | | | | | | | | | | | |
| 352 | s3 | | | -14,72 | -14,77 | -14,82 | quartz | éclat | entier | | | | | | | | | | | | | | |
| 353 | s3 | | | -14,72 | -14,77 | -14,82 | quartz | éclat | entier | | | | | | | | | | | | | | |
| 354 | s3 | | | -14,72 | -14,77 | -14,82 | quartz | éclat | entier | | | | | | | | | | | | | | |

| Numéro | SOND | AXE_CHIFF | AXE_CHAR | ALTI_SUP | ALTI_MOY | ALTI_INF | MATERIAU | CATEGORIE | TYPE_NUCL | ETAT | TALON | FACE_DORS | LONG | LARG | EPAI | DIAM | POIDS | CAS_TAIL | CAS_NBRE | CAS_PDST |
|--------|------|-----------|----------|----------|----------|----------|----------|------------|------------------|-------------|----------------|----------------|------|------|------|------|-------|----------|----------|----------|
| 355 | S3 | | | -14.72 | -14.77 | -14.82 | quartz | éclat | | entier | dièdre | négaif d'éclat | 26.0 | 26.0 | 8.0 | | | | | 4.0 |
| 356 | S3 | | | -14.72 | -14.77 | -14.82 | quartz | éclat | | entier | casé au déb | négaif d'éclat | 24.0 | 26.0 | 6.0 | | | | | 3.0 |
| 357 | S3 | | | -14.72 | -14.77 | -14.82 | quartz | éclat | | entier | lisse | centripète | 28.0 | 23.0 | 6.0 | | | | | 4.0 |
| 358 | S3 | | | -14.72 | -14.77 | -14.82 | quartz | éclat | | entier | casé au déb | débordant | 34.0 | 19.0 | 9.0 | | | | | 6.0 |
| 359 | S3 | | | -14.72 | -14.77 | -14.82 | quartz | éclat | | distal | distal | négaif d'éclat | 18.0 | 30.0 | 7.0 | | | | | 3.0 |
| 360 | S3 | | | -14.72 | -14.77 | -14.82 | quartz | éclat | | distal | distal | négaif d'éclat | 10.0 | 21.0 | 4.0 | | | | | 1.0 |
| 361 | S3 | | | -14.72 | -14.77 | -14.82 | quartz | éclat | | entier | lisse | centripète | 32.0 | 28.0 | 12.0 | | | 4.0 | | 2 |
| 362 | S3 | | | -14.72 | -14.77 | -14.82 | quartz | casson | | | | | | | | | | 3.0 | | 4 |
| 363 | S3 | | | -14.72 | -14.77 | -14.82 | quartz | casson | | | | | | | | | | 2.0 | | 3 |
| 364 | S3 | | | -14.72 | -14.77 | -14.82 | quartz | casson | | | | | | | | | | 1.0 | | 1 |
| 365 | S3 | | | -14.72 | -14.77 | -14.82 | quartz | casson | | | | | | | | | | | | |
| 366 | S3a | | | -14.72 | -14.77 | -14.82 | quartz | bloc testé | | | | | | | | | | | | |
| 367 | S3a | | | -14.72 | -14.77 | -14.82 | quartz | nucléus | à crête | entier | facetté | centripète | 62.0 | 41.0 | 38.0 | | 142.0 | | | |
| 368 | S3a | | | -14.72 | -14.77 | -14.82 | quartz | éclat | | entier | lisse | centripète | 14.0 | 86.0 | 60.0 | | 596.0 | | | |
| 369 | S3a | | | -14.72 | -14.77 | -14.82 | quartz | éclat | | entier | lisse | centripète | 39.0 | 34.0 | 10.0 | | 12.0 | | | |
| 370 | S3a | | | -14.72 | -14.77 | -14.82 | quartz | éclat | | entier | lisse | centripète | 27.0 | 25.0 | 15.0 | | 12.0 | | | |
| 371 | S3a | | | -14.72 | -14.77 | -14.82 | quartz | casson | | mésial | négaif d'éclat | négaif d'éclat | 23.0 | 21.0 | 7.0 | | 3.0 | | | 4 |
| 372 | S3a | | | -14.72 | -14.77 | -14.82 | quartz | casson | | | | | | | | | | 2.0 | | 7 |
| 373 | S3a | | | -14.72 | -14.77 | -14.82 | quartz | casson | | | | | | | | | | 1.0 | | 9 |
| 374 | S3 | | | -14.82 | -14.87 | -14.92 | quartz | nucléus | parallépipédique | entier | lisse | négaif d'éclat | 80.0 | 44.0 | 29.0 | | 112.0 | | | |
| 375 | S3 | | | -14.82 | -14.87 | -14.92 | quartz | éclat | | entier | lisse | négaif d'éclat | 48.0 | 57.0 | 16.0 | | 35.0 | | | |
| 376 | S3 | | | -14.82 | -14.87 | -14.92 | quartz | éclat | | entier | lisse | débordant | 25.0 | 20.0 | 10.0 | | 5.0 | | | |
| 377 | S3 | | | -14.82 | -14.87 | -14.92 | quartz | éclat | | entier | dièdre | négaif d'éclat | 29.0 | 29.0 | 9.0 | | 7.0 | | | |
| 378 | S3 | | | -14.82 | -14.87 | -14.92 | quartz | casson | | | | | | | | | | 4.0 | | 1 |
| 379 | S3 | | | -14.82 | -14.87 | -14.92 | quartz | casson | | | | | | | | | | 3.0 | | 2 |
| 380 | S3 | | | -14.82 | -14.87 | -14.92 | quartz | casson | | | | | | | | | | 2.0 | | 4 |
| 381 | S3 | | | -14.82 | -14.87 | -14.92 | quartz | casson | | | | | | | | | | 1.0 | | 2 |
| 382 | S3a | | | -14.82 | -14.87 | -14.92 | quartz | nucléus | | | | | | | | | | | | |
| 383 | S3a | | | -14.82 | -14.87 | -14.92 | quartz | éclat | | entier | lisse | centripète | 41.0 | 25.0 | 28.0 | | 28.0 | | | |
| 384 | S3a | | | -14.82 | -14.87 | -14.92 | quartz | éclat | | entier | cortical | cortical | 44.0 | 44.0 | 12.0 | | 20.0 | | | |
| 385 | S3a | | | -14.82 | -14.87 | -14.92 | quartz | éclat | | distal | cortical | cortical | 19.0 | 17.0 | 8.0 | | 2.5 | | | |
| 386 | S3a | | | -14.82 | -14.87 | -14.92 | quartz | éclat | | entier | cortical | centripète | 50.0 | 50.0 | 19.0 | | 48.0 | | | |
| 387 | S3a | | | -14.82 | -14.87 | -14.92 | quartz | éclat | | distal | cortical | négaif d'éclat | 23.0 | 23.0 | 8.0 | | 3.5 | | | |
| 388 | S3a | | | -14.82 | -14.87 | -14.92 | quartz | éclat | | distal | cortical | négaif d'éclat | 22.0 | 19.0 | 10.0 | | 3.5 | | | |
| 389 | S3a | | | -14.82 | -14.87 | -14.92 | quartz | éclat | | proximal | cortical | négaif d'éclat | 33.0 | 27.0 | 16.0 | | 12.0 | | | |
| 390 | S3a | | | -14.82 | -14.87 | -14.92 | quartz | éclat | | entier | facetté | négaif d'éclat | 30.0 | 22.0 | 11.0 | | 6.0 | | | |
| 391 | S3a | | | -14.82 | -14.87 | -14.92 | quartz | éclat | | entier | casé au déb | centripète | 33.0 | 23.0 | 10.0 | | 8.0 | | | |
| 392 | S3a | | | -14.82 | -14.87 | -14.92 | quartz | éclat | | mésial | | centripète | 43.0 | 37.0 | 12.0 | | 18.0 | | | |
| 393 | S3a | | | -14.82 | -14.87 | -14.92 | quartz | casson | | | | | | | | | | 5.0 | | 1 |
| 394 | S3a | | | -14.82 | -14.87 | -14.92 | quartz | casson | | | | | | | | | | 4.0 | | 3 |
| 395 | S3a | | | -14.82 | -14.87 | -14.92 | quartz | casson | | | | | | | | | | 3.0 | | 3 |
| 396 | S3a | | | -14.82 | -14.87 | -14.92 | quartz | casson | | | | | | | | | | 2.0 | | 4 |
| 397 | S3b | | | -14.82 | -14.97 | -15.02 | quartz | éclat | | entier | lisse | négaif d'éclat | 50.0 | 31.0 | 19.0 | | 26.0 | | | |
| 398 | S3 | | | -14.82 | -14.97 | -15.02 | quartz | bloc testé | | | | | | | | | | 3.0 | | 11 |
| 399 | S3 | | | -14.92 | -14.97 | -15.02 | quartz | nucléus | à crête | entier | lisse | négaif d'éclat | 65.0 | 42.0 | 35.0 | | 112.0 | | | |
| 400 | S3 | | | -14.92 | -14.97 | -15.02 | quartz | nucléus | | | | | | | | | | 290.0 | | |
| 401 | S3 | | | -14.92 | -14.97 | -15.02 | quartz | nucléus | | | | | | | | | | 70.0 | | |
| 402 | S3 | | | -14.92 | -14.97 | -15.02 | quartz | nucléus | | | | | | | | | | 33 | | |
| 403 | S3 | | | -14.92 | -14.97 | -15.02 | quartz | nucléus | | fragment | | | | | | | | 33 | | |
| 404 | S3 | | | -14.92 | -14.97 | -15.02 | quartz | éclat | entier | lisse | lisse | cortical | 54.0 | 39.0 | 28.0 | | 39.0 | | | |
| 405 | S3 | | | -14.92 | -14.97 | -15.02 | quartz | éclat | entier | lisse | lisse | cortical | 62.0 | 88.0 | 30.0 | | 110.0 | | | |
| 406 | S3 | | | -14.92 | -14.97 | -15.02 | quartz | éclat | entier | lisse | lisse | cortical | 66.0 | 39.0 | 17.0 | | 45.0 | | | |
| 407 | S3 | | | -14.92 | -14.97 | -15.02 | quartz | éclat | mésial | entier | cortical | négaif d'éclat | 53.0 | 47.0 | 18.0 | | 40.0 | | | |
| 408 | S3 | | | -14.92 | -14.97 | -15.02 | quartz | éclat | entier | casé au déb | négaif d'éclat | négaif d'éclat | 32.0 | 33.0 | 13.0 | | 11.0 | | | |
| 409 | S3 | | | -14.92 | -14.97 | -15.02 | quartz | éclat | entier | casé au déb | négaif d'éclat | négaif d'éclat | 39.0 | 39.0 | 10.0 | | 16.0 | | | |
| 410 | S3 | | | -14.92 | -14.97 | -15.02 | quartz | éclat | entier | cortical | cortical | négaif d'éclat | 45.0 | 31.0 | 13.0 | | 19.0 | | | |
| 411 | S3 | | | -14.92 | -14.97 | -15.02 | quartz | éclat | entier | cortical | cortical | débordant | 43.0 | 38.0 | 12.0 | | 21.0 | | | |
| 412 | S3 | | | -14.92 | -14.97 | -15.02 | quartz | éclat | entier | cortical | cortical | négaif d'éclat | 37.0 | 25.0 | 13.0 | | 14.0 | | | |
| 413 | S3 | | | -14.92 | -14.97 | -15.02 | quartz | éclat | entier | dièdre | dièdre | levallois | 34.0 | 32.0 | 8.0 | | 9.0 | | | |
| | | | | -14.92 | -14.97 | -15.02 | quartz | éclat | entier | lisse | lisse | négaif d'éclat | 31.0 | 34.0 | 9.0 | | 8.0 | | | |

| Numéro | SOND | AXE | CHIFF | AXE | CHAR | ALTI | SUP | ALT | MOY | ALTI | INF | MATERIAU | CATEGORIE | TYPE | NUCL | ETAT | TALON | FACE | DORS | LONG | LARG | LEPAI | DIAM | POIDS | CAS_TAIL | CAS_NBRE | CAS_POST | |
|--------|------|-----|-------|-----|------|--------|--------|--------|--------|------|-----|----------|-----------|------|------|--------|-------------|------------------|------|------|------|-------|------|-------|----------|----------|----------|----|
| 414 | s3 | | | | | -14.92 | -14.97 | -15.02 | quartz | | | | éclat | | | entier | dièdre | néglatif d'éclat | 26.0 | 24.0 | 9.0 | | | 5.0 | | | | |
| 415 | s3 | | | | | -14.92 | -14.97 | -15.02 | quartz | | | | éclat | | | entier | lisse | néglatif d'éclat | 39.0 | 16.0 | 6.0 | | | 4.0 | | | | |
| 416 | s3 | | | | | -14.92 | -14.97 | -15.02 | quartz | | | | éclat | | | entier | lisse | néglatif d'éclat | 30.0 | 30.0 | 9.0 | | | 9.0 | | | | |
| 417 | s3 | | | | | -14.92 | -14.97 | -15.02 | quartz | | | | éclat | | | entier | dièdre | centripète | 38.0 | 29.0 | 7.0 | | | 7.0 | | | | |
| 418 | s3 | | | | | -14.92 | -14.97 | -15.02 | quartz | | | | éclat | | | entier | dièdre | néglatif d'éclat | 30.0 | 25.0 | 11.0 | | | 9.0 | | | | |
| 419 | s3 | | | | | -14.92 | -14.97 | -15.02 | quartz | | | | éclat | | | entier | cortical | casé au déb | 34.0 | 21.0 | 7.0 | | | 6.0 | | | | |
| 420 | s3 | | | | | -14.92 | -14.97 | -15.02 | quartz | | | | éclat | | | entier | cortical | cortical | 21.0 | 20.0 | 6.0 | | | 2.0 | | | | |
| 421 | s3 | | | | | -14.92 | -14.97 | -15.02 | quartz | | | | éclat | | | entier | dièdre | néglatif d'éclat | 23.0 | 20.0 | 6.0 | | | 2.0 | | | | |
| 422 | s3 | | | | | -14.92 | -14.97 | -15.02 | quartz | | | | éclat | | | entier | cortical | néglatif d'éclat | 19.0 | 18.0 | 7.0 | | | 1.0 | | | | |
| 423 | s3 | | | | | -14.92 | -14.97 | -15.02 | quartz | | | | éclat | | | entier | lisse | néglatif d'éclat | 20.0 | 15.0 | 6.0 | | | 1.0 | | | | |
| 424 | s3 | | | | | -14.92 | -14.97 | -15.02 | quartz | | | | éclat | | | entier | dièdre | néglatif d'éclat | 18.0 | 22.0 | 5.0 | | | 1.0 | | | | |
| 425 | s3 | | | | | -14.92 | -14.97 | -15.02 | quartz | | | | éclat | | | entier | punctiforme | débordant | 40.0 | 55.0 | 14.0 | | | 23.0 | | 1 | 76 | |
| 426 | s3 | | | | | -14.92 | -14.97 | -15.02 | quartz | | | | éclat | | | entier | | | | | | | | | | | | 1 |
| 427 | s3 | | | | | -14.92 | -14.97 | -15.02 | quartz | | | | éclat | | | entier | | | | | | | | | | | | 18 |
| 428 | s3 | | | | | -14.92 | -14.97 | -15.02 | quartz | | | | éclat | | | entier | | | | | | | | | | | | 35 |
| 429 | s3 | | | | | -14.92 | -14.97 | -15.02 | quartz | | | | éclat | | | entier | | | | | | | | | | | | 17 |
| 430 | s3a | | | | | -14.92 | -14.97 | -15.02 | quartz | | | | éclat | | | entier | | | | | | | | | | | | 8 |
| 431 | s3a | | | | | -14.92 | -14.97 | -15.02 | quartz | | | | éclat | | | entier | | | | | | | | | | | | |
| 432 | s3a | | | | | -14.92 | -14.97 | -15.02 | quartz | | | | éclat | | | entier | | | | | | | | | | | | |
| 433 | s3a | | | | | -14.92 | -14.97 | -15.02 | quartz | | | | éclat | | | entier | | | | | | | | | | | | |
| 434 | s3a | | | | | -14.92 | -14.97 | -15.02 | quartz | | | | éclat | | | entier | | | | | | | | | | | | |
| 435 | s3a | | | | | -14.92 | -14.97 | -15.02 | quartz | | | | éclat | | | entier | | | | | | | | | | | | |
| 436 | s3a | | | | | -14.92 | -14.97 | -15.02 | quartz | | | | éclat | | | entier | | | | | | | | | | | | |
| 437 | s3a | | | | | -14.92 | -14.97 | -15.02 | quartz | | | | éclat | | | entier | | | | | | | | | | | | |
| 438 | s3a | | | | | -14.92 | -14.97 | -15.02 | quartz | | | | éclat | | | entier | | | | | | | | | | | | |
| 439 | s3a | | | | | -14.92 | -14.97 | -15.02 | quartz | | | | éclat | | | entier | | | | | | | | | | | | |
| 440 | s3a | | | | | -14.92 | -14.97 | -15.02 | quartz | | | | éclat | | | entier | | | | | | | | | | | | |
| 441 | s3a | | | | | -14.92 | -14.97 | -15.02 | quartz | | | | éclat | | | entier | | | | | | | | | | | | |
| 442 | s3a | | | | | -14.92 | -14.97 | -15.02 | quartz | | | | éclat | | | entier | | | | | | | | | | | | |
| 443 | s3a | | | | | -14.92 | -14.97 | -15.02 | quartz | | | | éclat | | | entier | | | | | | | | | | | | |
| 444 | s3a | | | | | -14.92 | -14.97 | -15.02 | quartz | | | | éclat | | | entier | | | | | | | | | | | | |
| 445 | s3a | | | | | -14.92 | -14.97 | -15.02 | quartz | | | | éclat | | | entier | | | | | | | | | | | | |
| 446 | s3a | | | | | -14.92 | -14.97 | -15.02 | quartz | | | | éclat | | | entier | | | | | | | | | | | | |
| 447 | s3a | | | | | -14.92 | -14.97 | -15.02 | quartz | | | | éclat | | | entier | | | | | | | | | | | | |
| 448 | s3a | | | | | -14.92 | -14.97 | -15.02 | quartz | | | | éclat | | | entier | | | | | | | | | | | | |
| 449 | s3a | | | | | -14.92 | -14.97 | -15.02 | quartz | | | | éclat | | | entier | | | | | | | | | | | | |
| 450 | s3a | | | | | -14.92 | -14.97 | -15.02 | quartz | | | | éclat | | | entier | | | | | | | | | | | | |
| 451 | s3a | | | | | -15.02 | -15.07 | -15.12 | quartz | | | | éclat | | | entier | | | | | | | | | | | | |
| 452 | s3b | | | | | -15.02 | -15.07 | -15.12 | quartz | | | | éclat | | | entier | | | | | | | | | | | | |
| 453 | s3b | | | | | -15.02 | -15.07 | -15.12 | quartz | | | | éclat | | | entier | | | | | | | | | | | | |
| 454 | s3b | | | | | -15.02 | -15.07 | -15.12 | quartz | | | | éclat | | | entier | | | | | | | | | | | | |
| 455 | s3b | | | | | -15.02 | -15.07 | -15.12 | quartz | | | | éclat | | | entier | | | | | | | | | | | | |
| 456 | s3b | | | | | -15.02 | -15.07 | -15.12 | quartz | | | | éclat | | | entier | | | | | | | | | | | | |
| 457 | s3b | | | | | -15.02 | -15.07 | -15.12 | quartz | | | | éclat | | | entier | | | | | | | | | | | | |
| 458 | s3 | | | | | -15.02 | -15.07 | -15.12 | quartz | | | | éclat | | | entier | | | | | | | | | | | | |
| 459 | s3 | | | | | -15.02 | -15.07 | -15.12 | quartz | | | | éclat | | | entier | | | | | | | | | | | | |
| 460 | s3 | | | | | -15.02 | -15.07 | -15.12 | quartz | | | | éclat | | | entier | | | | | | | | | | | | |
| 461 | s3 | | | | | -15.02 | -15.07 | -15.12 | quartz | | | | éclat | | | entier | | | | | | | | | | | | |
| 462 | s3 | | | | | -15.02 | -15.07 | -15.12 | quartz | | | | éclat | | | entier | | | | | | | | | | | | |
| 463 | s3 | | | | | -15.02 | -15.07 | -15.12 | quartz | | | | éclat | | | entier | | | | | | | | | | | | |
| 464 | s3 | | | | | -15.02 | -15.07 | -15.12 | quartz | | | | éclat | | | entier | | | | | | | | | | | | |
| 465 | s3 | | | | | -15.02 | -15.07 | -15.12 | quartz | | | | éclat | | | entier | | | | | | | | | | | | |
| 466 | s3 | | | | | -15.02 | -15.07 | -15.12 | quartz | | | | éclat | | | entier | | | | | | | | | | | | |
| 467 | s3 | | | | | -15.02 | -15.07 | -15.12 | quartz | | | | éclat | | | entier | | | | | | | | | | | | |
| 468 | s3 | | | | | -15.02 | -15.07 | -15.12 | quartz | | | | éclat | | | entier | | | | | | | | | | | | |
| 469 | s3 | | | | | -15.02 | -15.07 | -15.12 | quartz | | | | éclat | | | entier | | | | | | | | | | | | |
| 470 | s3 | | | | | -15.02 | -15.07 | -15.12 | quartz | | | | éclat | | | entier | | | | | | | | | | | | |
| 471 | s3 | | | | | -15.02 | -15.07 | -15.12 | quartz | | | | éclat | | | entier | | | | | | | | | | | | |
| 472 | s3 | | | | | -15.02 | -15.07 | -15.12 | quartz | | | | éclat | | | entier | | | | | | | | | | | | |

| Numéro | SOND | AXE | CHIFF | AXE | CHAR | AXE | CHIFF | AXE | CHAR | AXE | SUP | ALT | MOY | ALTI | INF | MATERIAU | CATEGORIE | TYPE_NUCL | ETAT | TALON | FACE_DORS | LONG | LARG | EPAI | DIAM | POIDS | CAS_TAIL | CAS_NBRE | CAS_PDST | |
|--------|------|-----|-------|-----|------|-----|-------|-----|------|-----|--------|--------|-----|------|--------|----------|------------|--------------------|----------|-------------|----------------|------|------|------|------|-------|----------|----------|----------|--|
| 473 | s3 | | | | | | | | | | -15.02 | -15.07 | | | -15.12 | quartz | éclat | | entier | facetté | négaif d'éclat | 15.0 | 25.0 | 10.0 | | 4.0 | | | | |
| 474 | s3 | | | | | | | | | | -15.02 | -15.07 | | | -15.12 | quartz | éclat | | entier | punctiforme | négaif d'éclat | 25.0 | 19.0 | 6.0 | | 3.0 | | | | |
| 475 | s3 | | | | | | | | | | -15.02 | -15.07 | | | -15.12 | quartz | éclat | | | | | | | | | | 5.0 | 2 | 87 | |
| 476 | s3 | | | | | | | | | | -15.02 | -15.07 | | | -15.12 | quartz | éclat | | | | | | | | | | 4.0 | 2 | 52 | |
| 477 | s3 | | | | | | | | | | -15.02 | -15.07 | | | -15.12 | quartz | éclat | | | | | | | | | 3.0 | 5 | 27 | | |
| 478 | s3 | | | | | | | | | | -15.02 | -15.07 | | | -15.12 | quartz | éclat | | | | | | | | | 2.0 | 8 | 16 | | |
| 479 | s3 | | | | | | | | | | -15.02 | -15.07 | | | -15.12 | quartz | éclat | | | | | | | | | 1.0 | 15 | 11 | | |
| 480 | s3a | | | | | | | | | | -15.02 | -15.07 | | | -15.12 | quartz | bloc testé | | | | | 84.0 | 67.0 | 46.0 | | 362.0 | | | | |
| 481 | s3a | | | | | | | | | | -15.02 | -15.07 | | | -15.12 | quartz | nucléus | centripète | entier | lisse | négaif d'éclat | 76.0 | 46.0 | 23.0 | | 78.0 | | | | |
| 482 | s3a | | | | | | | | | | -15.02 | -15.07 | | | -15.12 | quartz | nucléus | centripète | entier | lisse | négaif d'éclat | 64.0 | 49.0 | 25.0 | | 84.0 | | | | |
| 483 | s3a | | | | | | | | | | -15.02 | -15.07 | | | -15.12 | quartz | nucléus | centripète | entier | lisse | négaif d'éclat | 54.0 | 33.0 | 23.0 | 33 | 48.0 | | | | |
| 484 | s3a | | | | | | | | | | -15.02 | -15.07 | | | -15.12 | quartz | nucléus | globuleux | entier | lisse | négaif d'éclat | 49.0 | 30.0 | 15.0 | | 26.0 | | | | |
| 485 | s3a | | | | | | | | | | -15.02 | -15.07 | | | -15.12 | quartz | éclat | | entier | lisse | centripète | 43.0 | 53.0 | 16.0 | | 31.0 | | | | |
| 486 | s3a | | | | | | | | | | -15.02 | -15.07 | | | -15.12 | quartz | éclat | | entier | lisse | négaif d'éclat | 33.0 | 36.0 | 12.0 | | 18.0 | | | | |
| 487 | s3a | | | | | | | | | | -15.02 | -15.07 | | | -15.12 | quartz | éclat | | entier | lisse | centripète | 36.0 | 24.0 | 13.0 | | 11.0 | | | | |
| 488 | s3a | | | | | | | | | | -15.02 | -15.07 | | | -15.12 | quartz | éclat | | entier | lisse | négaif d'éclat | 30.0 | 29.0 | 13.0 | | 8.0 | | | | |
| 489 | s3a | | | | | | | | | | -15.02 | -15.07 | | | -15.12 | quartz | éclat | | entier | lisse | centripète | 35.0 | 26.0 | 10.0 | | 7.0 | | | | |
| 490 | s3a | | | | | | | | | | -15.02 | -15.07 | | | -15.12 | quartz | éclat | | entier | lisse | négaif d'éclat | 30.0 | 23.0 | 7.0 | | 9.0 | | | | |
| 491 | s3a | | | | | | | | | | -15.02 | -15.07 | | | -15.12 | quartz | éclat | | entier | lisse | centripète | 30.0 | 23.0 | 7.0 | | 6.0 | | | | |
| 492 | s3a | | | | | | | | | | -15.02 | -15.07 | | | -15.12 | quartz | éclat | | entier | lisse | négaif d'éclat | 15.0 | 28.0 | 6.0 | | 3.0 | | | | |
| 493 | s3a | | | | | | | | | | -15.02 | -15.07 | | | -15.12 | quartz | éclat | | entier | lisse | centripète | | | | | | 5.0 | 1 | 23 | |
| 494 | s3a | | | | | | | | | | -15.02 | -15.07 | | | -15.12 | quartz | éclat | | entier | lisse | négaif d'éclat | | | | | 3.0 | 4 | 29 | | |
| 495 | s3a | | | | | | | | | | -15.02 | -15.07 | | | -15.12 | quartz | éclat | | entier | lisse | centripète | | | | | 2.0 | 11 | 35 | | |
| 496 | s3a | | | | | | | | | | -15.02 | -15.07 | | | -15.12 | quartz | éclat | | entier | lisse | négaif d'éclat | | | | | 1.0 | 19 | 8 | | |
| 497 | s3a | | | | | | | | | | -15.02 | -15.07 | | | -15.12 | quartz | éclat | | entier | lisse | centripète | | | | | | | | | |
| 498 | s3b | | | | | | | | | | -15.12 | -15.17 | | | -15.22 | quartz | éclat | | entier | facetté | négaif d'éclat | 27.0 | 22.0 | 6.0 | | 3.0 | | | | |
| 499 | s3b | | | | | | | | | | -15.12 | -15.17 | | | -15.22 | quartz | éclat | | entier | facetté | négaif d'éclat | 27.0 | 20.0 | 6.0 | | 3.0 | | | | |
| 500 | s3b | | | | | | | | | | -15.12 | -15.17 | | | -15.22 | quartz | éclat | | entier | facetté | négaif d'éclat | 29.0 | 44.0 | 11.0 | | 13.0 | | | | |
| 501 | s3b | | | | | | | | | | -15.12 | -15.17 | | | -15.22 | quartz | éclat | | entier | facetté | négaif d'éclat | | | | | 3.0 | 2 | 9 | | |
| 502 | s3b | | | | | | | | | | -15.12 | -15.17 | | | -15.22 | quartz | éclat | | entier | facetté | négaif d'éclat | | | | | 2.0 | 3 | 8 | | |
| 503 | s3b | | | | | | | | | | -15.12 | -15.17 | | | -15.22 | quartz | éclat | | entier | facetté | négaif d'éclat | | | | | 1.0 | 2 | 1 | | |
| 504 | s3 | | | | | | | | | | -15.12 | -15.17 | | | -15.22 | quartz | éclat | | entier | facetté | négaif d'éclat | 49.0 | 45.0 | 28.0 | | 100.0 | | | | |
| 505 | s3 | | | | | | | | | | -15.12 | -15.17 | | | -15.22 | quartz | éclat | | entier | facetté | négaif d'éclat | 19.0 | 22.0 | 8.0 | | 4.0 | | | | |
| 506 | s3 | | | | | | | | | | -15.12 | -15.17 | | | -15.22 | quartz | éclat | | entier | facetté | négaif d'éclat | 21.0 | 28.0 | 7.0 | | 5.0 | | | | |
| 507 | s3 | | | | | | | | | | -15.12 | -15.17 | | | -15.22 | quartz | éclat | | entier | facetté | négaif d'éclat | | | | | | 3.0 | 2 | 11 | |
| 508 | s3 | | | | | | | | | | -15.12 | -15.17 | | | -15.22 | quartz | éclat | | entier | facetté | négaif d'éclat | | | | | 2.0 | 1 | 1 | | |
| 509 | s3 | | | | | | | | | | -15.12 | -15.17 | | | -15.22 | quartz | éclat | | entier | facetté | négaif d'éclat | | | | | 1.0 | 2 | 1 | | |
| 510 | s3a | | | | | | | | | | -15.12 | -15.17 | | | -15.22 | quartz | éclat | | entier | lisse | levallois | 25.0 | 22.0 | 11.0 | | 3.0 | | | | |
| 511 | s3a | | | | | | | | | | -15.12 | -15.17 | | | -15.22 | quartz | éclat | | entier | lisse | centripète | 21.0 | 29.0 | 12.0 | | 3.0 | | | | |
| 512 | s3a | | | | | | | | | | -15.12 | -15.17 | | | -15.22 | quartz | éclat | | entier | lisse | négaif d'éclat | 26.0 | 38.0 | 11.0 | | 12.0 | | | | |
| 513 | s3a | | | | | | | | | | -15.12 | -15.17 | | | -15.22 | quartz | éclat | | entier | lisse | négaif d'éclat | 36.0 | 34.0 | 15.0 | | 16.0 | | | | |
| 514 | s3a | | | | | | | | | | -15.12 | -15.17 | | | -15.22 | quartz | éclat | | entier | lisse | négaif d'éclat | 24.0 | 21.0 | 7.0 | | 3.0 | | | | |
| 515 | s3a | | | | | | | | | | -15.12 | -15.17 | | | -15.22 | quartz | éclat | | entier | lisse | négaif d'éclat | 38.0 | 22.0 | 12.0 | | 10.0 | | | | |
| 516 | s3a | | | | | | | | | | -15.12 | -15.17 | | | -15.22 | quartz | éclat | | entier | lisse | déboîtant | 38.0 | 35.0 | 11.0 | | 15.0 | | | | |
| 517 | s3a | | | | | | | | | | -15.12 | -15.17 | | | -15.22 | quartz | éclat | | entier | lisse | centripète | | | | | 4.0 | 1 | 15 | | |
| 518 | s3a | | | | | | | | | | -15.12 | -15.17 | | | -15.22 | quartz | éclat | | entier | lisse | centripète | | | | | 3.0 | 1 | 4 | | |
| 519 | s3a | | | | | | | | | | -15.12 | -15.17 | | | -15.22 | quartz | éclat | | entier | lisse | centripète | | | | | 2.0 | 7 | 13 | | |
| 520 | s3a | | | | | | | | | | -15.12 | -15.17 | | | -15.22 | quartz | éclat | | entier | lisse | centripète | | | | | 1.0 | 2 | 1 | | |
| 521 | s3b | | | | | | | | | | -15.22 | -15.27 | | | -15.32 | quartz | bloc testé | | fragment | | | 68.0 | 45.0 | 27.0 | | 85.0 | | | | |
| 522 | s3b | | | | | | | | | | -15.22 | -15.27 | | | -15.32 | quartz | nucléus | | fragment | | | 36.0 | 29.0 | 24.0 | | 20.0 | | | | |
| 523 | s3b | | | | | | | | | | -15.22 | -15.27 | | | -15.32 | quartz | éclat | | entier | lisse | centripète | | | | | 4.0 | 2 | 22 | | |
| 524 | s3b | | | | | | | | | | -15.22 | -15.27 | | | -15.32 | quartz | éclat | | entier | lisse | centripète | | | | | 2.0 | 4 | 13 | | |
| 525 | s3b | | | | | | | | | | -15.22 | -15.27 | | | -15.32 | quartz | éclat | | entier | lisse | centripète | 24.0 | 29.0 | 6.0 | | 4.0 | | | | |
| 526 | s3 | | | | | | | | | | -15.22 | -15.27 | | | -15.32 | quartz | éclat | | entier | lisse | centripète | 70.0 | 53.0 | 30.0 | | 108.0 | | | | |
| 527 | s3a | | | | | | | | | | -15.22 | -15.27 | | | -15.32 | quartz | bloc testé | | | | | 46.0 | 23.0 | 24.0 | | 25.0 | | | | |
| 528 | s3a | | | | | | | | | | -15.22 | -15.27 | | | -15.32 | quartz | éclat | | | | | 42.0 | 30.0 | 29.0 | | 41.0 | | | | |
| 529 | s3a | | | | | | | | | | -15.22 | -15.27 | | | -15.32 | quartz | nucléus | parallélépipédique | | | | 49.0 | 31.0 | 25.0 | | 45.0 | | | | |
| 530 | s3a | | | | | | | | | | -15.22 | -15.27 | | | -15.32 | quartz | nucléus | parallélépipédique | | | | 38.0 | 25.0 | 25.0 | | 29.0 | | | | |
| 531 | s3a | | | | | | | | | | -15.22 | -15.27 | | | -15.32 | quartz | nucléus | parallélépipédique | | | | | | | | | | | | |

| Numéro | SOND | AXE | CHIFF | AXE_CHAR | ALTI | SUP | ALT | MOY | ALTI_INF | MATERIAU | CATEGORIE | TYPE_NUCL | ETAT | TALON | FACE_DORS | LONG | LARG | EPAIL | DIAM | POIDS | CAS_TAIL | CAS_NBRE | CAS_PDST | | | |
|--------|------|-----|-------|----------|--------|--------|--------|--------|----------|------------|------------------|-----------|--------------|-----------------|-----------|------|------|-------|------|-------|----------|----------|----------|-----|--|--|
| 532 | s3a | | | | -15.22 | -15.27 | -15.32 | quartz | | nucléus | parallélepédique | entier | cassé au déb | centripète | 44.0 | 41.0 | 35.0 | | 85.0 | | | | | | | |
| 533 | s3a | | | | -15.22 | -15.27 | -15.32 | quartz | | éclat | | entier | cortical | centripète | 32.0 | 26.0 | 8.0 | | 6.0 | | | | | | | |
| 534 | s3a | | | | -15.22 | -15.27 | -15.32 | quartz | | éclat | | entier | cortical | centripète | 21.0 | 25.0 | 14.0 | | 7.0 | | | | | | | |
| 535 | s3a | | | | -15.22 | -15.27 | -15.32 | quartz | | éclat | | entier | cassé au déb | négalif d'éclat | 30.0 | 25.0 | 10.0 | | 8.0 | | | | | | | |
| 536 | s3a | | | | -15.22 | -15.27 | -15.32 | quartz | | éclat | | entier | cortical | centripète | 25.0 | 25.0 | 10.0 | | 6.0 | | | | | | | |
| 537 | s3a | | | | -15.22 | -15.27 | -15.32 | quartz | | éclat | | entier | dièdre | levallois | 24.0 | 24.0 | 10.0 | | 4.0 | | | | | | | |
| 538 | s3a | | | | -15.22 | -15.27 | -15.32 | quartz | | éclat | | entier | cassé au déb | négalif d'éclat | 23.0 | 22.0 | 9.0 | | 4.0 | | | | | | | |
| 539 | s3a | | | | -15.22 | -15.27 | -15.32 | quartz | | éclat | | entier | lisse | négalif d'éclat | 20.0 | 18.0 | 6.0 | | 2.0 | | | | | | | |
| 540 | s3a | | | | -15.22 | -15.27 | -15.32 | quartz | | éclat | | entier | cortical | cortical | 26.0 | 26.0 | 9.0 | | 3.0 | | | | | | | |
| 541 | s3a | | | | -15.22 | -15.27 | -15.32 | quartz | | casson | | | | | | | | | | 4.0 | | | 3 | 47 | | |
| 542 | s3a | | | | -15.22 | -15.27 | -15.32 | quartz | | casson | | | | | | | | | | 3.0 | | | 2 | 5 | | |
| 543 | s3a | | | | -15.22 | -15.27 | -15.32 | quartz | | casson | | | | | | | | | | 2.0 | | | 1 | 2 | | |
| 544 | s3a | | | | -15.22 | -15.27 | -15.32 | quartz | | casson | | | | | | | | | | 1.0 | | | 7 | 5 | | |
| 545 | s3b | | | | -15.32 | -15.37 | -15.42 | quartz | | bloc testé | | | | | | | | | | 61.0 | | | | | | |
| 546 | s3b | | | | -15.32 | -15.37 | -15.42 | quartz | | nucléus | parallélepédique | fragment | | | | | | | | 263.0 | | | | | | |
| 547 | s3b | | | | -15.32 | -15.37 | -15.42 | quartz | | nucléus | | | | | | | | | | 38.0 | | | | | | |
| 548 | s3b | | | | -15.32 | -15.37 | -15.42 | quartz | | nucléus | globuleux | | | | | | | | 35 | 42.0 | | | | | | |
| 549 | s3b | | | | -15.32 | -15.37 | -15.42 | quartz | | nucléus | levallois | | | | | | | | | 41.0 | | | | | | |
| 550 | s3b | | | | -15.32 | -15.37 | -15.42 | quartz | | éclat | | entier | lisse | centripète | 18.0 | 38.0 | 11.0 | | 10.0 | | | | | | | |
| 551 | s3b | | | | -15.32 | -15.37 | -15.42 | quartz | | éclat | | entier | lisse | négalif d'éclat | 19.0 | 17.0 | 6.0 | | 1.0 | | | | | | | |
| 552 | s3b | | | | -15.32 | -15.37 | -15.42 | quartz | | éclat | | entier | punctiforme | négalif d'éclat | 24.0 | 20.0 | 9.0 | | 3.0 | | | | | | | |
| 553 | s3b | | | | -15.32 | -15.37 | -15.42 | quartz | | casson | | | | | | | | | | 4.0 | | | 2 | 46 | | |
| 554 | s3b | | | | -15.32 | -15.37 | -15.42 | quartz | | casson | | | | | | | | | | 3.0 | | | 6 | 53 | | |
| 555 | s3b | | | | -15.32 | -15.37 | -15.42 | quartz | | casson | | | | | | | | | | 2.0 | | | 10 | 28 | | |
| 556 | s3b | | | | -15.32 | -15.37 | -15.42 | quartz | | casson | | | | | | | | | | 1.0 | | | 10 | 4 | | |
| 557 | s3 | | | | -15.32 | -15.37 | -15.42 | quartz | | éclat | | entier | dièdre | dièdre | 18.0 | 24.0 | 7.0 | | 4.0 | | | | | | | |
| 558 | s3 | | | | -15.32 | -15.37 | -15.42 | quartz | | casson | | | | | | | | | | | | | | | | |
| 559 | s3a | | | | -15.32 | -15.37 | -15.42 | quartz | | bloc testé | | | | | | | | | | 43.0 | | | | | | |
| 560 | s3a | | | | -15.32 | -15.37 | -15.42 | quartz | | nucléus | parallélepédique | | | | | | | | | 720.0 | | | | | | |
| 561 | s3a | | | | -15.32 | -15.37 | -15.42 | quartz | | nucléus | centripète | | | | | | | | | 192.0 | | | | | | |
| 562 | s3a | | | | -15.32 | -15.37 | -15.42 | quartz | | éclat | | entier | cassé au déb | centripète | 48.0 | 43.0 | 18.0 | | 31.0 | | | | | | | |
| 563 | s3a | | | | -15.32 | -15.37 | -15.42 | quartz | | éclat | | entier | lisse | centripète | 36.0 | 33.0 | 13.0 | | 9.0 | | | | | | | |
| 564 | s3a | | | | -15.32 | -15.37 | -15.42 | quartz | | éclat | | distal | centripète | centripète | 34.0 | 30.0 | 12.0 | | 12.0 | | | | | | | |
| 565 | s3a | | | | -15.32 | -15.37 | -15.42 | quartz | | éclat | | distal | centripète | centripète | 32.0 | 27.0 | 10.0 | | 8.0 | | | | | | | |
| 566 | s3a | | | | -15.32 | -15.37 | -15.42 | quartz | | éclat | | entier | cortical | centripète | 27.0 | 21.0 | 6.0 | | 3.0 | | | | | | | |
| 567 | s3a | | | | -15.32 | -15.37 | -15.42 | quartz | | éclat | | entier | dièdre | dièdre | 25.0 | 22.0 | 8.0 | | 4.0 | | | | | | | |
| 568 | s3a | | | | -15.32 | -15.37 | -15.42 | quartz | | éclat | | entier | cassé au déb | négalif d'éclat | 28.0 | 20.0 | 8.0 | | 3.0 | | | | | | | |
| 569 | s3a | | | | -15.32 | -15.37 | -15.42 | quartz | | casson | | | | | | | | | | 6.0 | | | 1 | 107 | | |
| 570 | s3a | | | | -15.32 | -15.37 | -15.42 | quartz | | casson | | | | | | | | | | 5.0 | | | 2 | 71 | | |
| 571 | s3a | | | | -15.32 | -15.37 | -15.42 | quartz | | casson | | | | | | | | | | 4.0 | | | 5 | 94 | | |
| 572 | s3a | | | | -15.32 | -15.37 | -15.42 | quartz | | casson | | | | | | | | | | 3.0 | | | 14 | 91 | | |
| 573 | s3a | | | | -15.32 | -15.37 | -15.42 | quartz | | casson | | | | | | | | | | 2.0 | | | 46 | 98 | | |
| 574 | s3a | | | | -15.32 | -15.37 | -15.42 | quartz | | casson | | | | | | | | | | 1.0 | | | 8 | 6 | | |
| 575 | s3b | | | | -15.42 | -15.47 | -15.52 | quartz | | bloc testé | | | | | | | | | | 31.0 | | | | | | |
| 576 | s3b | | | | -15.42 | -15.47 | -15.52 | quartz | | éclat | | entier | cortical | négalif d'éclat | 46.0 | 36.0 | 25.0 | | 10.0 | | | | | | | |
| 577 | s3b | | | | -15.42 | -15.47 | -15.52 | quartz | | éclat | | entier | lisse | centripète | 26.0 | 36.0 | 11.0 | | 6.0 | | | | | | | |
| 578 | s3b | | | | -15.42 | -15.47 | -15.52 | quartz | | éclat | | entier | dièdre | centripète | 33.0 | 22.0 | 8.0 | | 8.0 | | | | | | | |
| 579 | s3b | | | | -15.42 | -15.47 | -15.52 | quartz | | éclat | | entier | dièdre | centripète | 40.0 | 24.0 | 7.0 | | 8.0 | | | | | | | |
| 580 | s3b | | | | -15.42 | -15.47 | -15.52 | quartz | | casson | | entier | facetté | négalif d'éclat | 17.0 | 13.0 | 5.0 | | 1.0 | | | | | | | |
| 581 | s3b | | | | -15.42 | -15.47 | -15.52 | quartz | | casson | | | | | | | | | | 3.0 | | | 3 | 24 | | |
| 582 | s3b | | | | -15.42 | -15.47 | -15.52 | quartz | | casson | | | | | | | | | | 2.0 | | | 6 | 15 | | |
| 583 | s3b | | | | -15.42 | -15.47 | -15.52 | quartz | | éclat | | entier | lisse | débordant | 48.0 | 30.0 | 18.0 | | 29.0 | | | | | | | |
| 584 | s3b | | | | -15.42 | -15.47 | -15.52 | quartz | | éclat | | entier | dièdre | négalif d'éclat | 22.0 | 28.0 | 7.0 | | 3.0 | | | | | | | |
| 585 | s3b | | | | -15.42 | -15.47 | -15.52 | quartz | | casson | | entier | | | | | | | | | | | | | | |
| 586 | s3b | | | | -15.42 | -15.47 | -15.52 | quartz | | casson | | | | | | | | | | | | | | | | |
| 587 | s3a | | | | -15.42 | -15.47 | -15.52 | quartz | | bloc testé | | | | | | | | | | 51.0 | | | | | | |
| 588 | s3a | | | | -15.42 | -15.47 | -15.52 | quartz | | nucléus | globuleux | | | | | | | | | 220.0 | | | | | | |
| 589 | s3a | | | | -15.42 | -15.47 | -15.52 | quartz | | nucléus | globuleux | | | | | | | | | 90.0 | | | | | | |
| 590 | s3a | | | | -15.42 | -15.47 | -15.52 | quartz | | nucléus | globuleux | | | | | | | | | 49.0 | | | | | | |

| Numéro | SOND | AXE | CHIFF | AXE | CHAR | ALTI | SUP | ALTI | MOY | ALTI | INF | MATERIAU | CATEGORIE | TYPE | NUCL | ETAT | TALON | FACE | DORS | LONG | LARG | EPAI | DIAM | POIDS | CAS | TAIL | CAS | NBRE | CAS | PDST | |
|--------|------|-----|-------|-----|------|--------|--------|--------|--------|--------|--------|----------|-----------|------|----------|----------|-------------|-----------|-----------|------|------|------|------|-------|-----|------|-----|------|-----|------|----|
| 591 | s3a | | | | | -15.47 | -15.42 | -15.47 | -15.47 | -15.52 | quartz | éclat | éclat | | entier | entier | casé au déb | levallais | levallais | 42.0 | 28.0 | 11.0 | | 13.0 | | | | | | | |
| 592 | s3a | | | | | -15.47 | -15.42 | -15.47 | -15.47 | -15.52 | quartz | éclat | éclat | | entier | entier | casé au déb | levallais | levallais | 38.0 | 31.0 | 12.0 | | 15.0 | | | | | | | |
| 593 | s3a | | | | | -15.47 | -15.42 | -15.47 | -15.47 | -15.52 | quartz | éclat | éclat | | proximal | proximal | lisse | levallais | levallais | 21.0 | 17.0 | 7.0 | | 4.0 | | | | | | | |
| 594 | s3a | | | | | -15.47 | -15.42 | -15.47 | -15.47 | -15.52 | quartz | éclat | éclat | | distal | distal | lisse | levallais | levallais | 22.0 | 27.0 | 7.0 | | 3.0 | | | | | | | |
| 595 | s3a | | | | | -15.47 | -15.42 | -15.47 | -15.47 | -15.52 | quartz | éclat | éclat | | entier | entier | lisse | levallais | levallais | 29.0 | 20.0 | 8.0 | | 4.0 | | | | | | | |
| 596 | s3a | | | | | -15.47 | -15.42 | -15.47 | -15.47 | -15.52 | quartz | éclat | éclat | | entier | entier | casé au déb | levallais | levallais | 21.0 | 34.0 | 11.0 | | 6.0 | | | | | | | |
| 597 | s3a | | | | | -15.47 | -15.42 | -15.47 | -15.47 | -15.52 | quartz | éclat | éclat | | entier | entier | casé au déb | levallais | levallais | 22.0 | 19.0 | 6.0 | | 2.0 | | | | | | | |
| 598 | s3a | | | | | -15.47 | -15.42 | -15.47 | -15.47 | -15.52 | quartz | éclat | éclat | | entier | entier | casé au déb | levallais | levallais | 37.0 | 30.0 | 11.0 | | 14.0 | | 7.0 | | 1 | | 100 | |
| 599 | s3a | | | | | -15.47 | -15.42 | -15.47 | -15.47 | -15.52 | quartz | éclat | éclat | | | | | | | | | | | | 4.0 | | | | | 4 | 96 |
| 600 | s3a | | | | | -15.47 | -15.42 | -15.47 | -15.47 | -15.52 | quartz | éclat | éclat | | | | | | | | | | | | 3.0 | | | | | 8 | 48 |
| 601 | s3a | | | | | -15.47 | -15.42 | -15.47 | -15.47 | -15.52 | quartz | éclat | éclat | | | | | | | | | | | | 2.0 | | | | | 18 | 38 |
| 602 | s3a | | | | | -15.47 | -15.42 | -15.47 | -15.47 | -15.52 | quartz | éclat | éclat | | | | | | | | | | | | 1.0 | | | | | 9 | 6 |
| 603 | s3a | | | | | -15.47 | -15.42 | -15.47 | -15.47 | -15.52 | quartz | éclat | éclat | | | | | | | | | | | | 2.0 | | | | | 1 | 2 |
| 604 | s3b | | | | | -15.52 | -15.52 | -15.57 | -15.57 | -15.62 | quartz | éclat | éclat | | | | | | | | | | | | | | | | | | |
| 605 | s3b | | | | | -15.52 | -15.52 | -15.57 | -15.57 | -15.62 | quartz | éclat | éclat | | | | | | | | | | | | | | | | | | |
| 606 | s3b | | | | | -15.52 | -15.52 | -15.57 | -15.57 | -15.62 | quartz | éclat | éclat | | | | | | | | | | | | | | | | | | |
| 607 | s3b | | | | | -15.52 | -15.52 | -15.57 | -15.57 | -15.62 | quartz | éclat | éclat | | | | | | | | | | | | | | | | | | |
| 608 | s3b | | | | | -15.52 | -15.52 | -15.57 | -15.57 | -15.62 | quartz | éclat | éclat | | | | | | | | | | | | | | | | | | |
| 609 | s3b | | | | | -15.52 | -15.52 | -15.57 | -15.57 | -15.62 | quartz | éclat | éclat | | | | | | | | | | | | | | | | | | |
| 610 | s3b | | | | | -15.52 | -15.52 | -15.57 | -15.57 | -15.62 | quartz | éclat | éclat | | | | | | | | | | | | | | | | | | |
| 611 | s3b | | | | | -15.52 | -15.52 | -15.57 | -15.57 | -15.62 | quartz | éclat | éclat | | | | | | | | | | | | | | | | | | |
| 612 | s3b | | | | | -15.52 | -15.52 | -15.57 | -15.57 | -15.62 | quartz | éclat | éclat | | | | | | | | | | | | | | | | | | |
| 613 | s3a | | | | | -15.52 | -15.52 | -15.57 | -15.57 | -15.62 | quartz | éclat | éclat | | | | | | | | | | | | | | | | | | |
| 614 | s3a | | | | | -15.52 | -15.52 | -15.57 | -15.57 | -15.62 | quartz | éclat | éclat | | | | | | | | | | | | | | | | | | |
| 615 | s3a | | | | | -15.52 | -15.52 | -15.57 | -15.57 | -15.62 | quartz | éclat | éclat | | | | | | | | | | | | | | | | | | |
| 616 | s3a | | | | | -15.52 | -15.52 | -15.57 | -15.57 | -15.62 | quartz | éclat | éclat | | | | | | | | | | | | | | | | | | |
| 617 | s3a | | | | | -15.52 | -15.52 | -15.57 | -15.57 | -15.62 | quartz | éclat | éclat | | | | | | | | | | | | | | | | | | |
| 618 | s3a | | | | | -15.52 | -15.52 | -15.57 | -15.57 | -15.62 | quartz | éclat | éclat | | | | | | | | | | | | | | | | | | |
| 619 | s3a | | | | | -15.52 | -15.52 | -15.57 | -15.57 | -15.62 | quartz | éclat | éclat | | | | | | | | | | | | | | | | | | |
| 620 | s3a | | | | | -15.52 | -15.52 | -15.57 | -15.57 | -15.62 | quartz | éclat | éclat | | | | | | | | | | | | | | | | | | |
| 621 | s3a | | | | | -15.52 | -15.52 | -15.57 | -15.57 | -15.62 | quartz | éclat | éclat | | | | | | | | | | | | | | | | | | |
| 622 | s3a | | | | | -15.52 | -15.52 | -15.57 | -15.57 | -15.62 | quartz | éclat | éclat | | | | | | | | | | | | | | | | | | |
| 623 | s3a | | | | | -15.52 | -15.52 | -15.57 | -15.57 | -15.62 | quartz | éclat | éclat | | | | | | | | | | | | | | | | | | |
| 624 | s3a | | | | | -15.52 | -15.52 | -15.57 | -15.57 | -15.62 | quartz | éclat | éclat | | | | | | | | | | | | | | | | | | |
| 625 | s3a | | | | | -15.52 | -15.52 | -15.57 | -15.57 | -15.62 | quartz | éclat | éclat | | | | | | | | | | | | | | | | | | |
| 626 | s3a | | | | | -15.52 | -15.52 | -15.57 | -15.57 | -15.62 | quartz | éclat | éclat | | | | | | | | | | | | | | | | | | |
| 627 | s3a | | | | | -15.52 | -15.52 | -15.57 | -15.57 | -15.62 | quartz | éclat | éclat | | | | | | | | | | | | | | | | | | |
| 628 | s3a | | | | | -15.52 | -15.52 | -15.57 | -15.57 | -15.62 | quartz | éclat | éclat | | | | | | | | | | | | | | | | | | |
| 629 | s3a | | | | | -15.52 | -15.52 | -15.57 | -15.57 | -15.62 | quartz | éclat | éclat | | | | | | | | | | | | | | | | | | |
| 630 | s3a | | | | | -15.52 | -15.52 | -15.57 | -15.57 | -15.62 | quartz | éclat | éclat | | | | | | | | | | | | | | | | | | |
| 631 | s3a | | | | | -15.52 | -15.52 | -15.57 | -15.57 | -15.62 | quartz | éclat | éclat | | | | | | | | | | | | | | | | | | |
| 632 | s3a | | | | | -15.52 | -15.52 | -15.57 | -15.57 | -15.62 | quartz | éclat | éclat | | | | | | | | | | | | | | | | | | |
| 633 | s3a | | | | | -15.52 | -15.52 | -15.57 | -15.57 | -15.62 | quartz | éclat | éclat | | | | | | | | | | | | | | | | | | |
| 634 | s3a | | | | | -15.52 | -15.52 | -15.57 | -15.57 | -15.62 | quartz | éclat | éclat | | | | | | | | | | | | | | | | | | |
| 635 | s3a | | | | | -15.52 | -15.52 | -15.57 | -15.57 | -15.62 | quartz | éclat | éclat | | | | | | | | | | | | | | | | | | |
| 636 | s3a | | | | | -15.52 | -15.52 | -15.57 | -15.57 | -15.62 | quartz | éclat | éclat | | | | | | | | | | | | | | | | | | |
| 637 | s3a | | | | | -15.52 | -15.52 | -15.57 | -15.57 | -15.62 | quartz | éclat | éclat | | | | | | | | | | | | | | | | | | |
| 638 | s3a | | | | | -15.52 | -15.52 | -15.57 | -15.57 | -15.62 | quartz | éclat | éclat | | | | | | | | | | | | | | | | | | |
| 639 | s3a | | | | | -15.52 | -15.52 | -15.57 | -15.57 | -15.62 | quartz | éclat | éclat | | | | | | | | | | | | | | | | | | |
| 640 | s3a | | | | | -15.52 | -15.52 | -15.57 | -15.57 | -15.62 | quartz | éclat | éclat | | | | | | | | | | | | | | | | | | |
| 641 | s3b | | | | | -15.62 | -15.62 | -15.67 | -15.67 | -15.72 | quartz | éclat | éclat | | | | | | | | | | | | | | | | | | |
| 642 | s3b | | | | | -15.62 | -15.62 | -15.67 | -15.67 | -15.72 | quartz | éclat | éclat | | | | | | | | | | | | | | | | | | |
| 643 | s3b | | | | | -15.62 | -15.62 | -15.67 | -15.67 | -15.72 | quartz | éclat | éclat | | | | | | | | | | | | | | | | | | |
| 644 | s3b | | | | | -15.62 | -15.62 | -15.67 | -15.67 | -15.72 | quartz | éclat | éclat | | | | | | | | | | | | | | | | | | |
| 645 | s3b | | | | | -15.62 | -15.62 | -15.67 | -15.67 | -15.72 | quartz | éclat | éclat | | | | | | | | | | | | | | | | | | |
| 646 | s3b | | | | | -15.62 | -15.62 | -15.67 | -15.67 | -15.72 | quartz | éclat | éclat | | | | | | | | | | | | | | | | | | |
| 647 | s3b | | | | | -15.62 | -15.62 | -15.67 | -15.67 | -15.72 | quartz | éclat | éclat | | | | | | | | | | | | | | | | | | |
| 648 | s3b | | | | | -15.62 | -15.62 | -15.67 | -15.67 | -15.72 | quartz | éclat | éclat | | | | | | | | | | | | | | | | | | |
| 649 | s3b | | | | | -15.62 | -15.62 | -15.67 | -15.67 | -15.72 | quartz | éclat | éclat | | | | | | | | | | | | | | | | | | |

| Numéro | SOND | AXE | CHIFF | AXE | CHAR | ALTI | SUP | ALT | MOY | ALTI | INF | MATERIAU | CATEGORIE | TYPE | NUCL. | ETAT | TALON | FACE | DORS | LONG | LARG | EPAI | DIAM | POIDS | CAS_TAIL | CAS_NBRE | CAS_PDST | |
|--------|------|-----|-------|-----|------|--------|--------|--------|-----------|---------|------------|----------|-----------|------------|-------|------|-------|------|------|------|------|------|------|-------|----------|----------|----------|--|
| 768 | s3a | | | | | -15.82 | -15.87 | -15.92 | quartz | nucléus | centripète | entier | nucléus | centripète | | | | | | | 49.0 | 44.0 | 21.0 | 49.0 | | | | |
| 769 | s3a | | | | | -15.82 | -15.87 | -15.92 | quartz | nucléus | centripète | fragment | nucléus | centripète | | | | | | | | 47.0 | 34.0 | 18.0 | 31.0 | | | |
| 770 | s3a | | | | | -15.82 | -15.87 | -15.92 | quartz | nucléus | centripète | fragment | nucléus | centripète | | | | | | | | 72.0 | 46.0 | 26.0 | 77.0 | | | |
| 771 | s3a | | | | | -15.82 | -15.87 | -15.92 | quartz | nucléus | centripète | entier | nucléus | centripète | | | | | | | | 50.0 | 36.0 | 20.0 | 41.0 | | | |
| 772 | s3a | | | | | -15.82 | -15.87 | -15.92 | quartz | nucléus | centripète | entier | nucléus | centripète | | | | | | | | 57.0 | 30.0 | 11.0 | 15.0 | | | |
| 773 | s3a | | | | | -15.82 | -15.87 | -15.92 | quartz | nucléus | centripète | entier | nucléus | centripète | | | | | | | | 48.0 | 47.0 | 15.0 | 43.0 | | | |
| 774 | s3a | | | | | -15.82 | -15.87 | -15.92 | quartz | nucléus | centripète | entier | nucléus | centripète | | | | | | | | 45.0 | 32.0 | 21.0 | 30.0 | | | |
| 775 | s3a | | | | | -15.82 | -15.87 | -15.92 | quartz | nucléus | centripète | entier | nucléus | centripète | | | | | | | | 25.0 | 29.0 | 7.0 | 6.0 | | | |
| 776 | s3a | | | | | -15.82 | -15.87 | -15.92 | quartz | nucléus | centripète | entier | nucléus | centripète | | | | | | | | 33.0 | 24.0 | 6.0 | 8.0 | | | |
| 777 | s3a | | | | | -15.82 | -15.87 | -15.92 | quartz | nucléus | centripète | entier | nucléus | centripète | | | | | | | | 27.0 | 18.0 | 9.0 | 3.0 | | | |
| 778 | s3a | | | | | -15.82 | -15.87 | -15.92 | quartz | nucléus | centripète | entier | nucléus | centripète | | | | | | | | 32.0 | 19.0 | 7.0 | 5.0 | | | |
| 779 | s3a | | | | | -15.82 | -15.87 | -15.92 | quartz | nucléus | centripète | entier | nucléus | centripète | | | | | | | | 39.0 | 29.0 | 6.0 | 9.0 | | | |
| 780 | s3a | | | | | -15.82 | -15.87 | -15.92 | quartz | nucléus | centripète | entier | nucléus | centripète | | | | | | | | 42.0 | 24.0 | 12.0 | 13.0 | | | |
| 781 | s3a | | | | | -15.82 | -15.87 | -15.92 | quartz | nucléus | centripète | entier | nucléus | centripète | | | | | | | | 45.0 | 38.0 | 10.0 | 24.0 | | | |
| 782 | s3a | | | | | -15.82 | -15.87 | -15.92 | quartz | nucléus | centripète | entier | nucléus | centripète | | | | | | | | 37.0 | 37.0 | 12.0 | 14.0 | | | |
| 783 | s3a | | | | | -15.82 | -15.87 | -15.92 | quartz | nucléus | centripète | entier | nucléus | centripète | | | | | | | | 25.0 | 21.0 | 5.0 | 3.0 | | | |
| 784 | s3a | | | | | -15.82 | -15.87 | -15.92 | quartz | nucléus | centripète | entier | nucléus | centripète | | | | | | | | 45.0 | 61.0 | 13.0 | 26.0 | | | |
| 785 | s3a | | | | | -15.82 | -15.87 | -15.92 | quartz | nucléus | centripète | entier | nucléus | centripète | | | | | | | | 45.0 | 61.0 | 13.0 | 26.0 | | | |
| 786 | s3a | | | | | -15.82 | -15.87 | -15.92 | quartz | nucléus | centripète | entier | nucléus | centripète | | | | | | | | 45.0 | 61.0 | 13.0 | 26.0 | | | |
| 787 | s3a | | | | | -15.82 | -15.87 | -15.92 | quartz | nucléus | centripète | entier | nucléus | centripète | | | | | | | | 45.0 | 61.0 | 13.0 | 26.0 | | | |
| 788 | s3a | | | | | -15.82 | -15.87 | -15.92 | quartz | nucléus | centripète | entier | nucléus | centripète | | | | | | | | 40.0 | 47.0 | 15.0 | 24.0 | | | |
| 789 | s3a | | | | | -15.82 | -15.87 | -15.92 | quartz | nucléus | centripète | entier | nucléus | centripète | | | | | | | | 28.0 | 35.0 | 11.0 | 13.0 | | | |
| 790 | s3b | | | | | -15.92 | -15.97 | -16.02 | quartz | éclat | facetté | entier | éclat | facetté | | | | | | | | 28.0 | 22.0 | 8.0 | 4.0 | | | |
| 791 | s3b | | | | | -15.92 | -15.97 | -16.02 | quartz | éclat | facetté | entier | éclat | facetté | | | | | | | | 32.0 | 23.0 | 11.0 | 8.0 | | | |
| 792 | s3b | | | | | -15.92 | -15.97 | -16.02 | quartz | éclat | facetté | entier | éclat | facetté | | | | | | | | 27.0 | 19.0 | 5.0 | 2.0 | | | |
| 793 | s3b | | | | | -15.92 | -15.97 | -16.02 | quartz | éclat | facetté | entier | éclat | facetté | | | | | | | | 16.0 | 11.0 | 3.0 | 0.5 | | | |
| 794 | s3b | | | | | -15.92 | -15.97 | -16.02 | quartz | éclat | facetté | entier | éclat | facetté | | | | | | | | 18.0 | 23.0 | 6.0 | 2.0 | | | |
| 795 | s3b | | | | | -15.92 | -15.97 | -16.02 | quartz | éclat | facetté | entier | éclat | facetté | | | | | | | | 21.0 | 16.0 | 5.0 | 1.0 | | | |
| 796 | s3b | | | | | -15.92 | -15.97 | -16.02 | quartz | éclat | facetté | entier | éclat | facetté | | | | | | | | 21.0 | 16.0 | 5.0 | 1.0 | | | |
| 797 | s3b | | | | | -15.92 | -15.97 | -16.02 | quartz | éclat | facetté | entier | éclat | facetté | | | | | | | | 21.0 | 16.0 | 5.0 | 1.0 | | | |
| 798 | s3b | | | | | -15.92 | -15.97 | -16.02 | quartz | éclat | facetté | entier | éclat | facetté | | | | | | | | 58.0 | 58.0 | 22.0 | 83.0 | | | |
| 799 | s3b | | | | | -15.92 | -15.97 | -16.02 | quartz | éclat | facetté | entier | éclat | facetté | | | | | | | | 45.0 | 40.0 | 18.0 | 29.0 | | | |
| 800 | s3b | | | | | -15.92 | -15.97 | -16.02 | quartz | éclat | facetté | entier | éclat | facetté | | | | | | | | 55.0 | 32.0 | 14.0 | 23.0 | | | |
| 801 | s3b | | | | | -15.92 | -15.97 | -16.02 | quartz | éclat | facetté | entier | éclat | facetté | | | | | | | | 30.0 | 24.0 | 7.0 | 6.0 | | | |
| 802 | s3b | | | | | -15.92 | -15.97 | -16.02 | quartz | éclat | facetté | entier | éclat | facetté | | | | | | | | 25.0 | 22.0 | 9.0 | 4.0 | | | |
| 803 | s3b | | | | | -15.92 | -15.97 | -16.02 | quartz | éclat | facetté | entier | éclat | facetté | | | | | | | | 24.0 | 22.0 | 9.0 | 3.0 | | | |
| 804 | s3b | | | | | -15.92 | -15.97 | -16.02 | quartz | éclat | facetté | entier | éclat | facetté | | | | | | | | 28.0 | 31.0 | 9.0 | 6.0 | | | |
| 805 | s3b | | | | | -15.92 | -15.97 | -16.02 | quartz | éclat | facetté | entier | éclat | facetté | | | | | | | | 58.0 | 58.0 | 22.0 | 83.0 | | | |
| 806 | s3a | | | | | -15.92 | -15.97 | -16.02 | quartz | éclat | facetté | entier | éclat | facetté | | | | | | | | 45.0 | 40.0 | 18.0 | 29.0 | | | |
| 807 | s3a | | | | | -15.92 | -15.97 | -16.02 | quartz | éclat | facetté | entier | éclat | facetté | | | | | | | | 55.0 | 32.0 | 14.0 | 23.0 | | | |
| 808 | s3a | | | | | -15.92 | -15.97 | -16.02 | quartz | éclat | facetté | entier | éclat | facetté | | | | | | | | 30.0 | 24.0 | 7.0 | 6.0 | | | |
| 809 | s3a | | | | | -15.92 | -15.97 | -16.02 | quartz | éclat | facetté | entier | éclat | facetté | | | | | | | | 25.0 | 22.0 | 9.0 | 4.0 | | | |
| 810 | s3a | | | | | -15.92 | -15.97 | -16.02 | quartz | éclat | facetté | entier | éclat | facetté | | | | | | | | 24.0 | 22.0 | 9.0 | 3.0 | | | |
| 811 | s3a | | | | | -15.92 | -15.97 | -16.02 | quartz | éclat | facetté | entier | éclat | facetté | | | | | | | | 28.0 | 31.0 | 9.0 | 6.0 | | | |
| 812 | s3a | | | | | -15.92 | -15.97 | -16.02 | quartz | éclat | facetté | entier | éclat | facetté | | | | | | | | 53.0 | 43.0 | 28.0 | 101.0 | | | |
| 813 | s3a | | | | | -15.92 | -15.97 | -16.02 | quartz | éclat | facetté | entier | éclat | facetté | | | | | | | | 45.0 | 25.0 | 20.0 | 37.0 | | | |
| 814 | s3a | | | | | -15.92 | -15.97 | -16.02 | quartz | éclat | facetté | entier | éclat | facetté | | | | | | | | 40.0 | 40.0 | 20.0 | 21.0 | | | |
| 815 | s3a | | | | | -15.92 | -15.97 | -16.02 | quartz | éclat | facetté | entier | éclat | facetté | | | | | | | | 36.0 | 39.0 | 10.0 | 15.0 | | | |
| 816 | s3a | | | | | -15.92 | -15.97 | -16.02 | quartz | éclat | facetté | entier | éclat | facetté | | | | | | | | 48.0 | 42.0 | 15.0 | 33.0 | | | |
| 817 | s3a | | | | | -15.92 | -15.97 | -16.02 | quartz | éclat | facetté | entier | éclat | facetté | | | | | | | | 32.0 | 32.0 | 9.0 | 8.0 | | | |
| 818 | s3a | | | | | -15.92 | -15.97 | -16.02 | quartz | éclat | facetté | entier | éclat | facetté | | | | | | | | 25.0 | 38.0 | 14.0 | 11.0 | | | |
| 819 | s3a | | | | | -15.92 | -15.97 | -16.02 | quartz | éclat | facetté | entier | éclat | facetté | | | | | | | | 27.0 | 34.0 | 11.0 | 7.0 | | | |
| 820 | s3a | | | | | -15.92 | -15.97 | -16.02 | quartz | éclat | facetté | entier | éclat | facetté | | | | | | | | 48.0 | 26.0 | 7.0 | 12.0 | | | |
| 821 | s3a | | | | | -15.92 | -15.97 | -16.02 | quartz | éclat | facetté | entier | éclat | facetté | | | | | | | | 49.0 | 43.0 | 21.0 | 41.0 | | | |
| 822 | s3a | | | | | -15.92 | -15.97 | -16.02 | quartz | éclat | facetté | entier | éclat | facetté | | | | | | | | 49.0 | 43.0 | 21.0 | 41.0 | | | |
| 823 | s3a | | | | | -15.92 | -15.97 | -16.02 | quartz | éclat | facetté | entier | éclat | facetté | | | | | | | | 49.0 | 43.0 | 21.0 | 41.0 | | | |
| 824 | s3a | | | | | -15.92 | -15.97 | -16.02 | quartz | éclat | facetté | entier | éclat | facetté | | | | | | | | 49.0 | 43.0 | 21.0 | 41.0 | | | |
| 825 | s3a | | | | | -15.92 | -15.97 | -16.02 | quartz | éclat | facetté | entier | éclat | facetté | | | | | | | | 49.0 | 43.0 | 21.0 | 41.0 | | | |
| 826 | s3b | | | | | -16.02 | -16.07 | -16.12 | quartzite | éclat | facetté | proximal | éclat | facetté | | | | | | | | 26.0 | 35.0 | 10.0 | | | | |

| Numéro | SOND | AXE | CHIFF | AXE | CHAR | ALTI | SUP | ALT | MOY | ALTI | INF | MATERIAU | CATEGORIE | TYPE_NUCL | ETAT | TALON | FACE_DORS | LONG | LARG | EPAI | DIAM | POIDS | CAS_TAIL | CAS_NBRE | CAS_PDST |
|--------|------|-----|-------|-----|------|--------|-----|-----|--------|------|--------|----------|-----------|-----------|----------|--------------|-----------------|------|------|------|------|-------|----------|----------|----------|
| 827 | S3b | | | | | -16.02 | | | -16.07 | | -16.12 | quartz | lame | | entier | facetté | négalif d'éclat | 43.0 | 26.0 | 11.0 | | 12.0 | | | |
| 828 | S3b | | | | | -16.02 | | | -16.07 | | -16.12 | quartz | lame | | entier | facetté | négalif d'éclat | 39.0 | 19.0 | 12.0 | | 10.0 | | 5 | 47 |
| 829 | S3b | | | | | -16.02 | | | -16.07 | | -16.12 | quartz | lame | | | | | | | | | | 3.0 | | |
| 830 | S3b | | | | | -16.02 | | | -16.07 | | -16.12 | quartz | casson | | | | | | | | | | 2.0 | 12 | 25 |
| 831 | S3b | | | | | -16.02 | | | -16.07 | | -16.12 | quartz | casson | | | | | | | | | | 1.0 | 8 | 3 |
| 832 | S3b | | | | | -16.02 | | | -16.07 | | -16.12 | quartz | éclat | | entier | lisse | négalif de lame | 53.0 | 32.0 | 15.0 | | 38.0 | | | |
| 833 | S3b | | | | | -16.02 | | | -16.07 | | -16.12 | quartz | éclat | | entier | cassé au déb | centripète | 34.0 | 39.0 | 9.0 | | 10.0 | | | |
| 834 | S3a | | | | | -16.02 | | | -16.07 | | -16.12 | quartz | nucléus | | fragment | | | 49.0 | 40.0 | 23.0 | | 46.0 | | | |
| 835 | S3a | | | | | -16.02 | | | -16.07 | | -16.12 | quartz | éclat | | entier | facetté | débordant | 44.0 | 35.0 | 16.0 | | 23.0 | | | |

DIMENSIONS DES ÉCLATS ENTIERS

ECLATS ENTIERS PRÉPARÉS (N=80)

| | | Longueur | Largeur | Epaisseur | Poids |
|--------------------|-------------------|----------|---------|-----------|-------|
| Série complète | | | | | |
| | Moyenne | 35.5 | 30.6 | 10.1 | 12 |
| | Ecart-type | 8.8 | 8.4 | 3.2 | 10.2 |
| Série remaniée n=7 | | | | | |
| | Moyenne | 33.71 | 38.57 | 9.86 | 13.00 |
| | Ecart-type | 4.43 | 10.18 | 2.36 | 7.63 |
| Série P.moyen n=73 | | | | | |
| | Moyenne | 35.42 | 29.86 | 10.14 | 11.92 |
| | Ecart-type | 9.09 | 7.80 | 3.37 | 10.39 |

ECLATS ENTIERS NON PRÉPARÉS (N=284)

| | | | | | |
|---------------------|-------------------|-------|-------|------|-------|
| Série complète | | | | | |
| | Moyenne | 30.3 | 27.1 | 9.4 | 10.4 |
| | Ecart-type | 11.8 | 11.08 | 4.2 | 16 |
| Série remaniée n=52 | | | | | |
| | Moyenne | 27.96 | 24.88 | 7.62 | 9.10 |
| | Ecart-type | 14.14 | 12.93 | 4.19 | 25.37 |
| Série P.moyen n=232 | | | | | |
| | Moyenne | 30.83 | 27.61 | 9.86 | 10.65 |
| | Ecart-type | 11.15 | 10.57 | 4.21 | 14.03 |

Tableau 2

REPARTITION VERTICALE

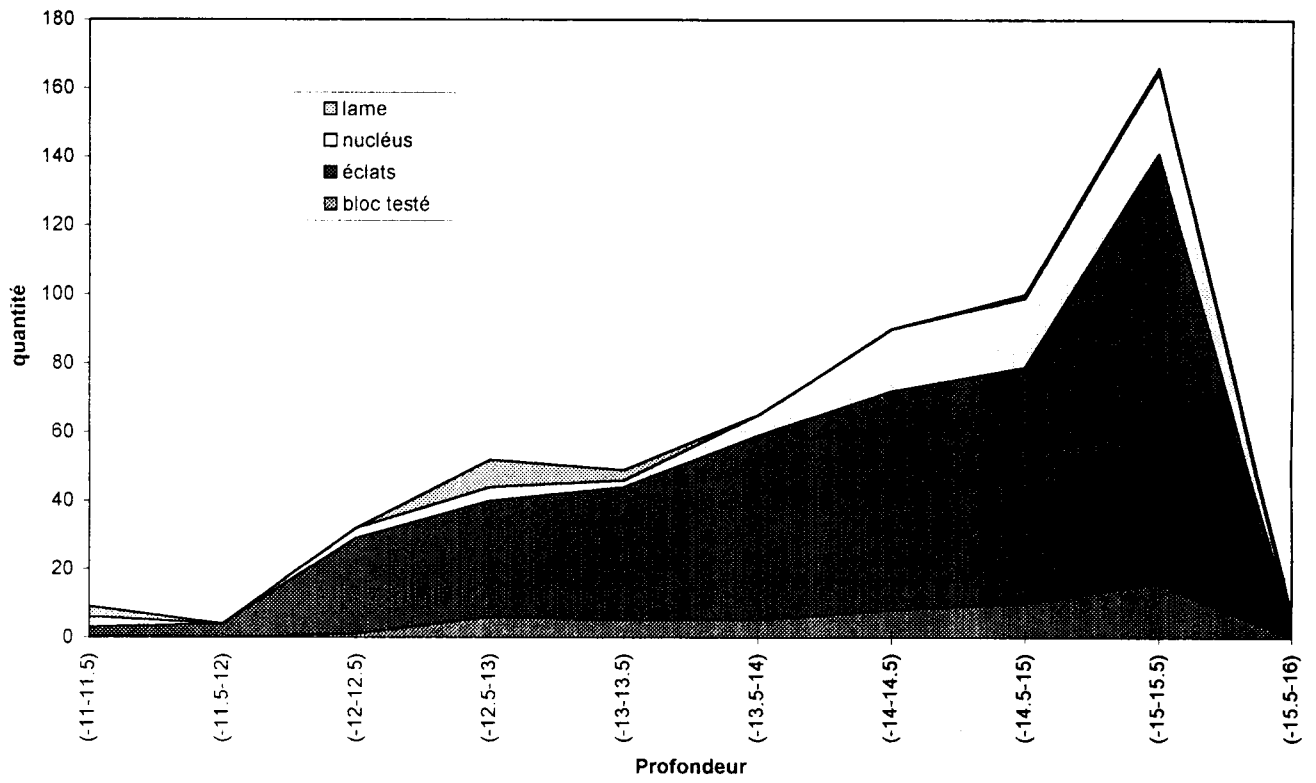


Fig. 1

DEBITAGE FACE DORSALE

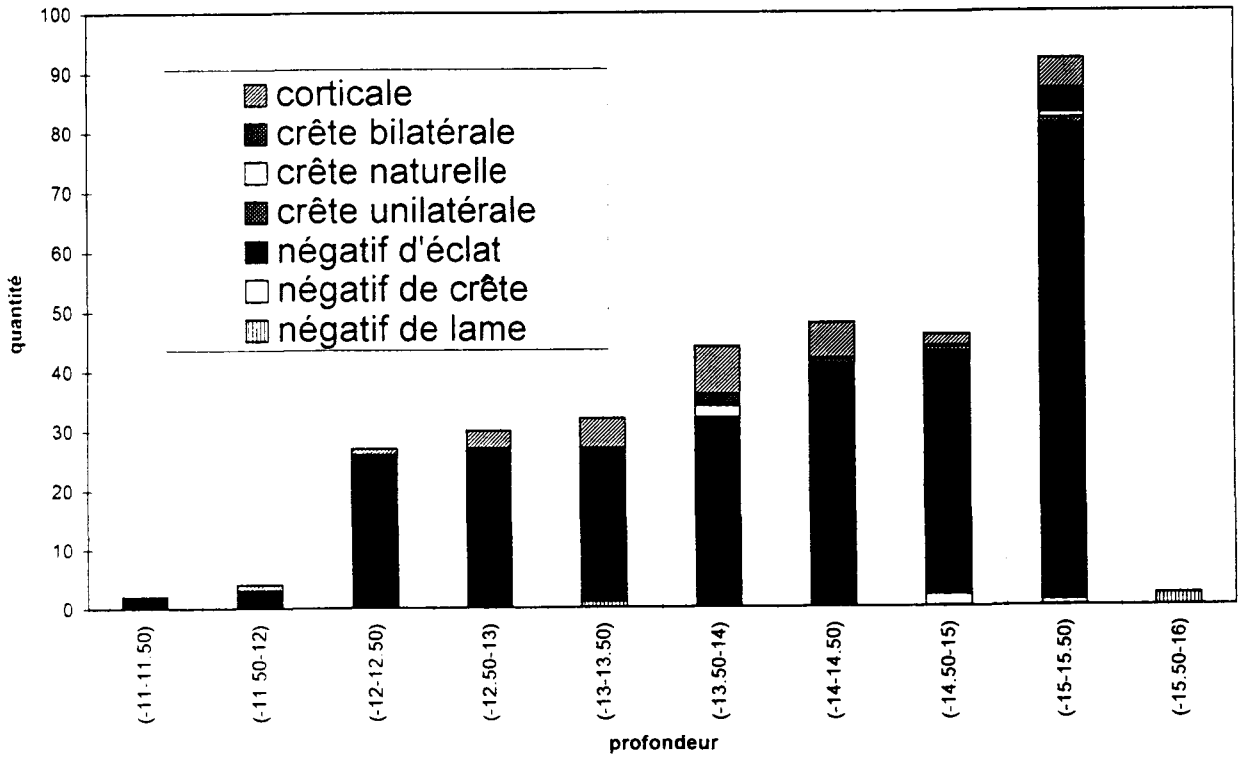


Fig. 2

DEBITAGE FACE DORSALE

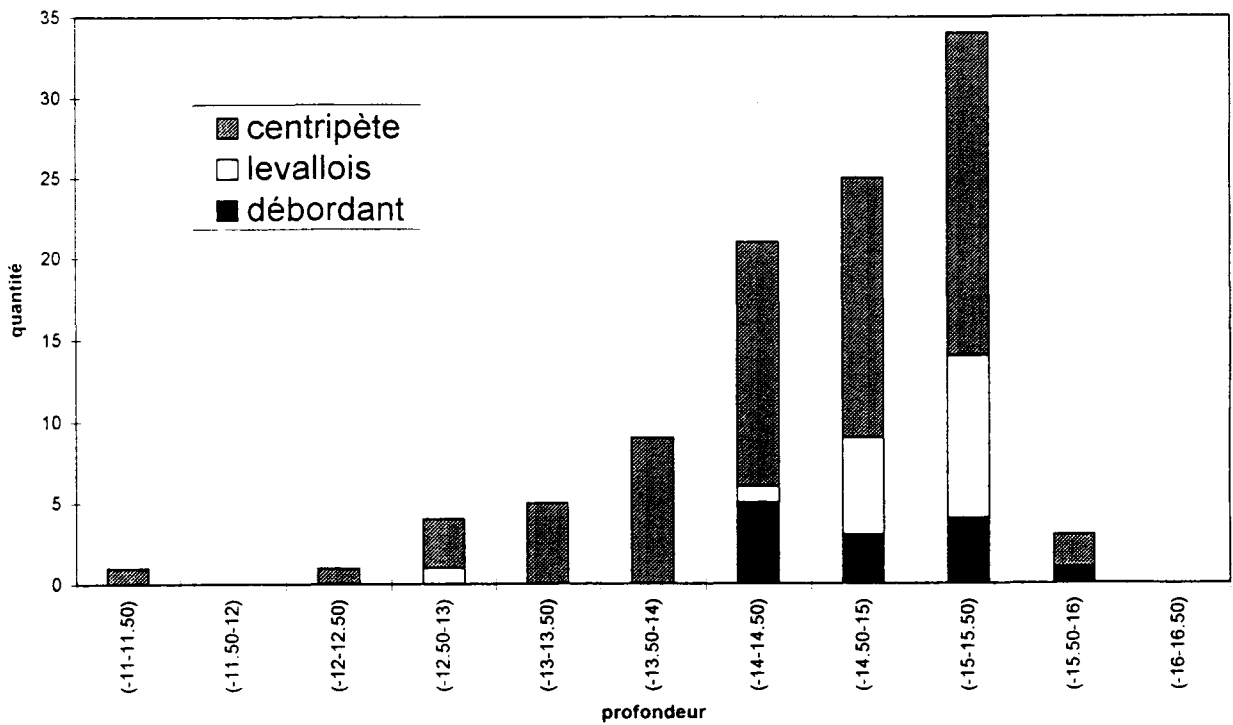


Fig. 3

PRESENCE SEQUENCE REMANIEE

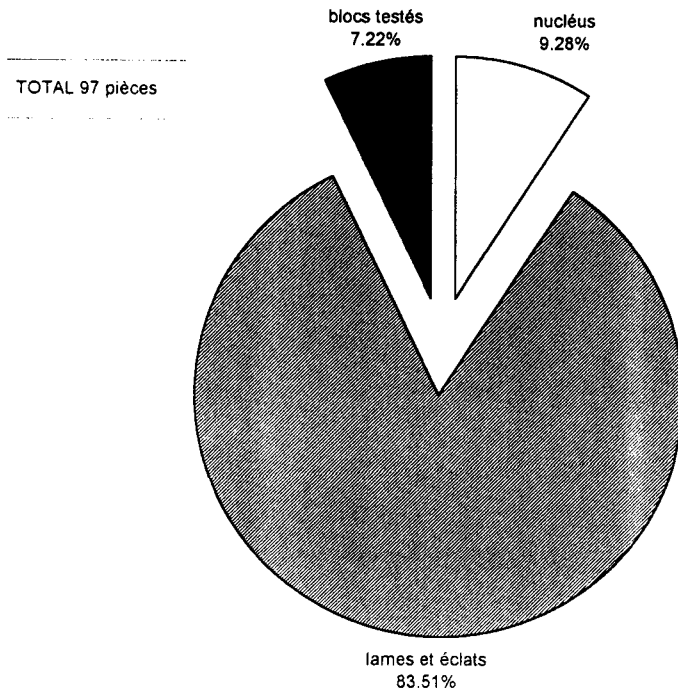


Fig. 4

POIDS SEQUENCE REMANIEE

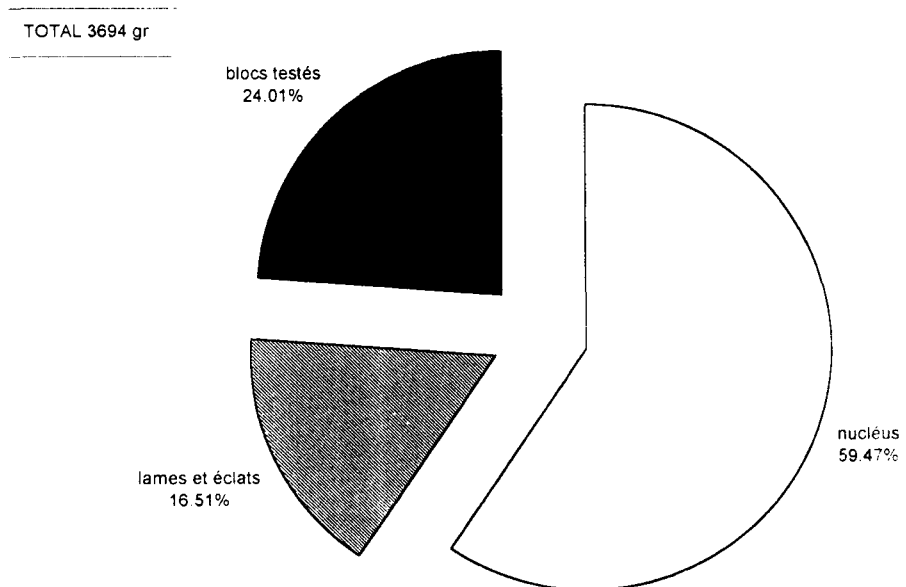


Fig. 5

LONGUEUR DES ECLATS ENTIERS NON PREPARES

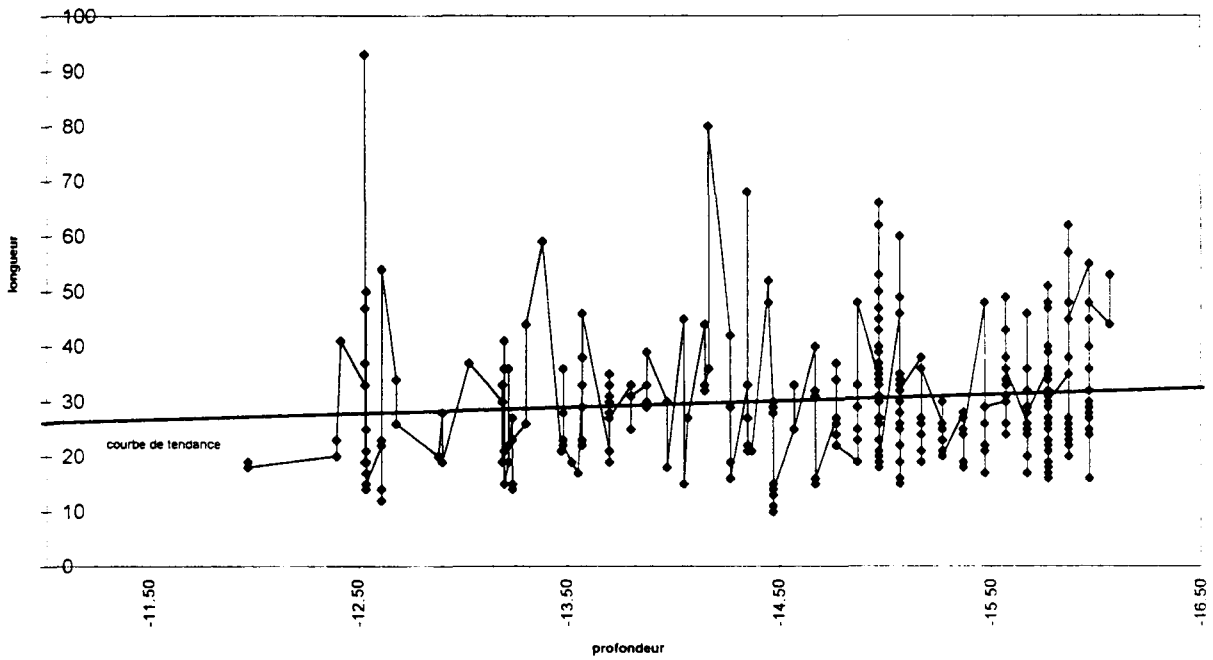


Fig. 6

TALONS CORTICAUX

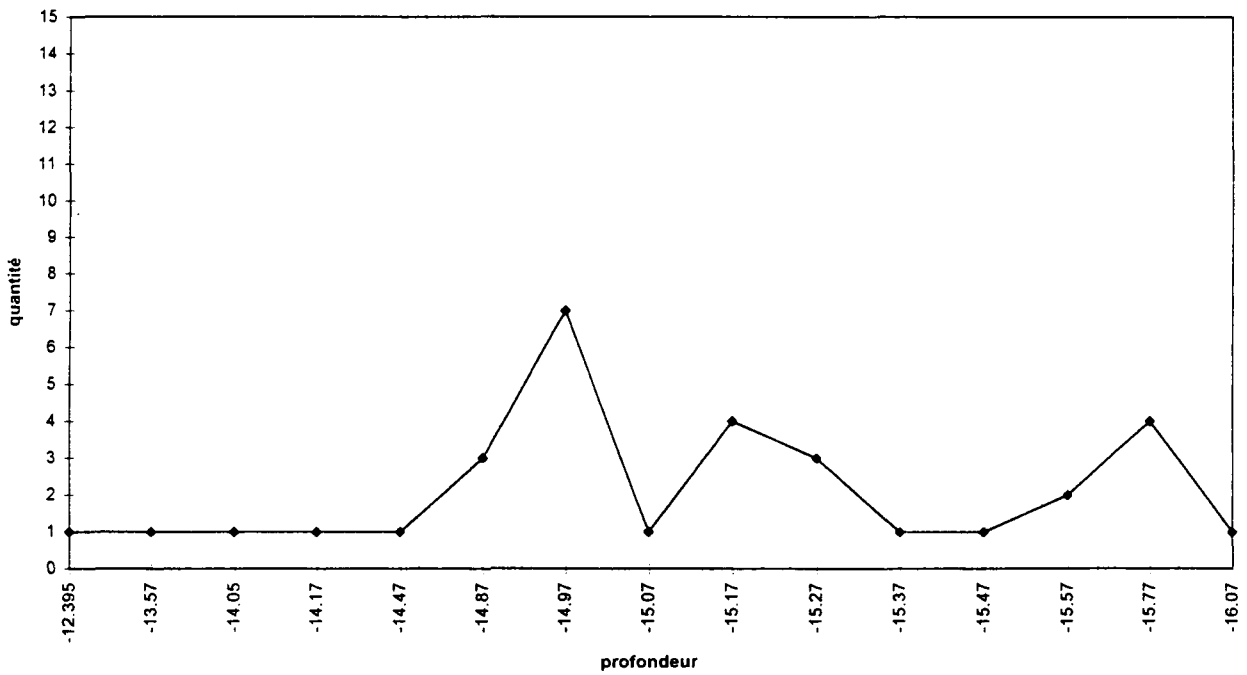


Fig. 7

TALONS CASSES AU DEBITAGE

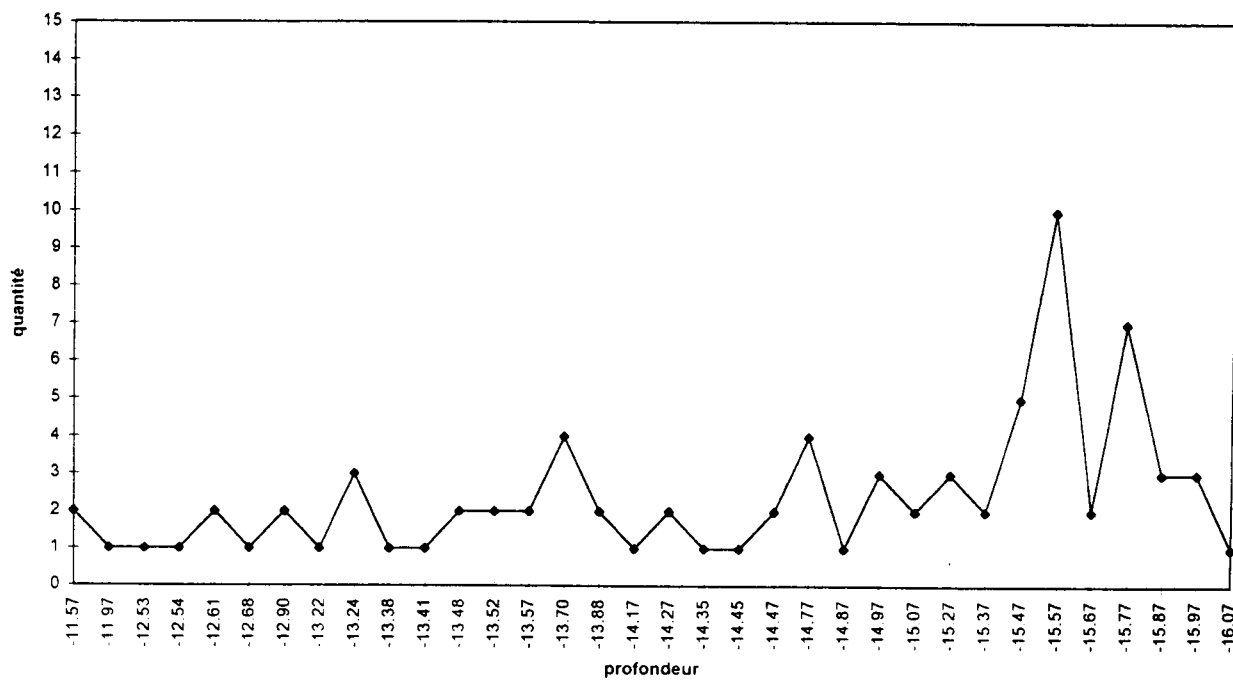


Fig. 8

TALONS LISSES

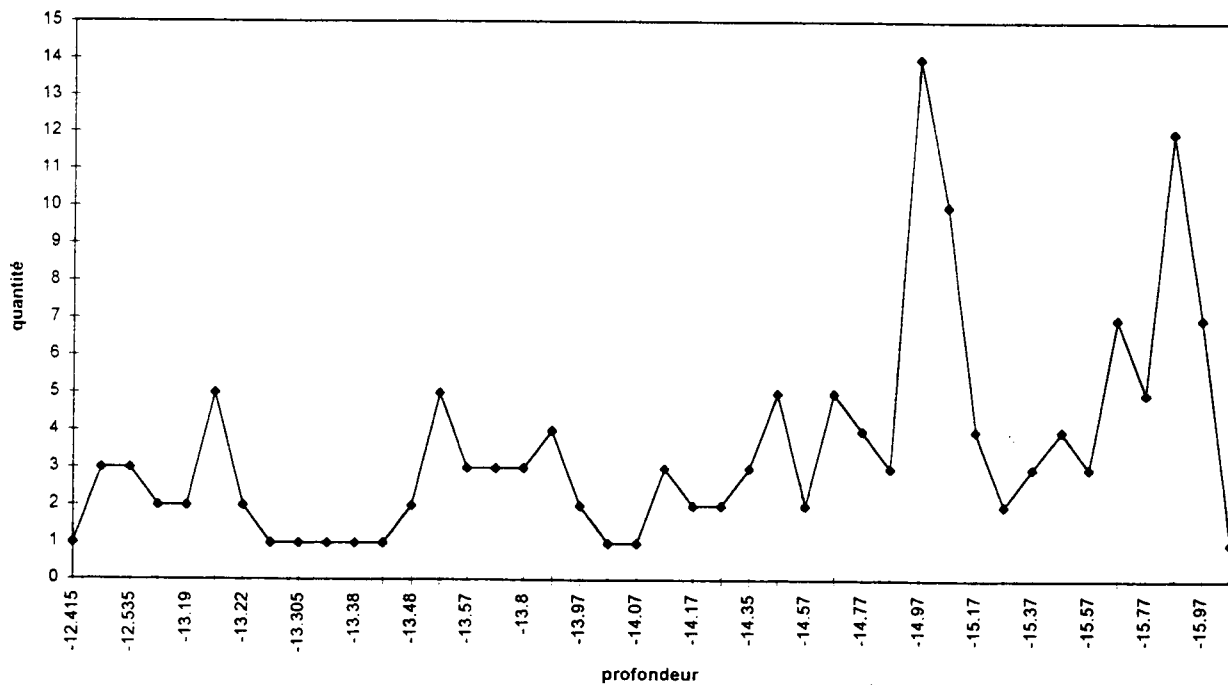


Fig. 9

TALONS PREPARES

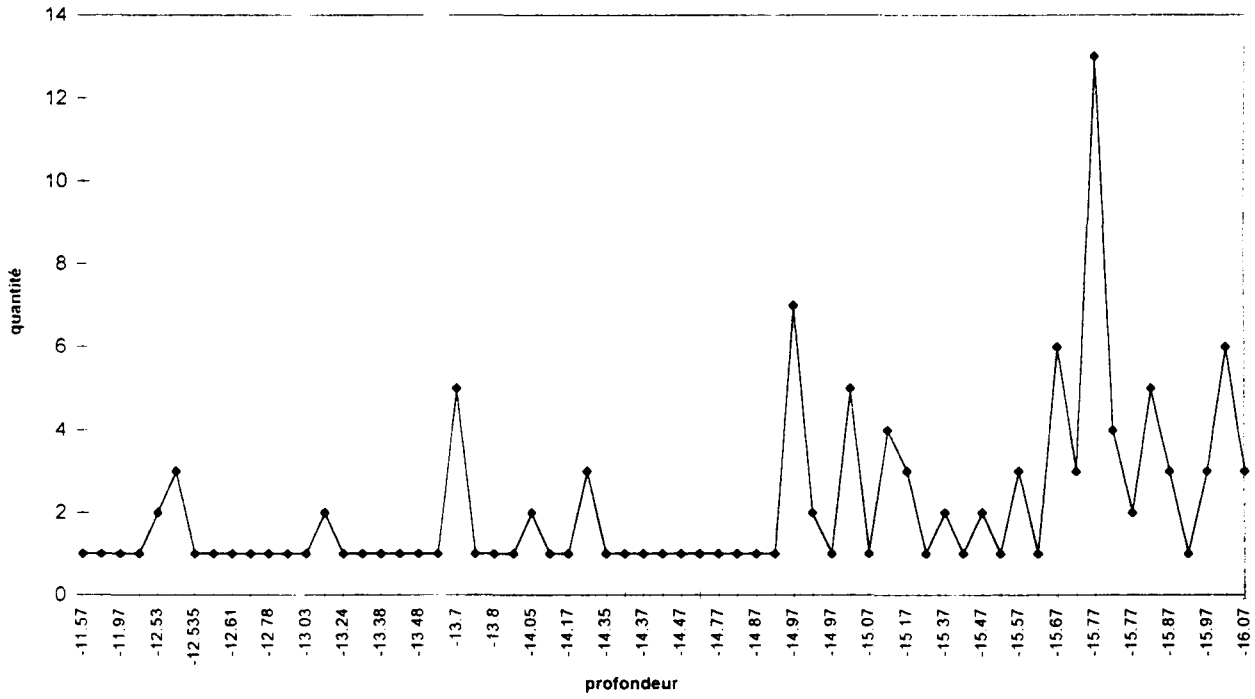


Fig. 10

PRESENCE SEQUENCE PALEOLITHIQUE MOYEN

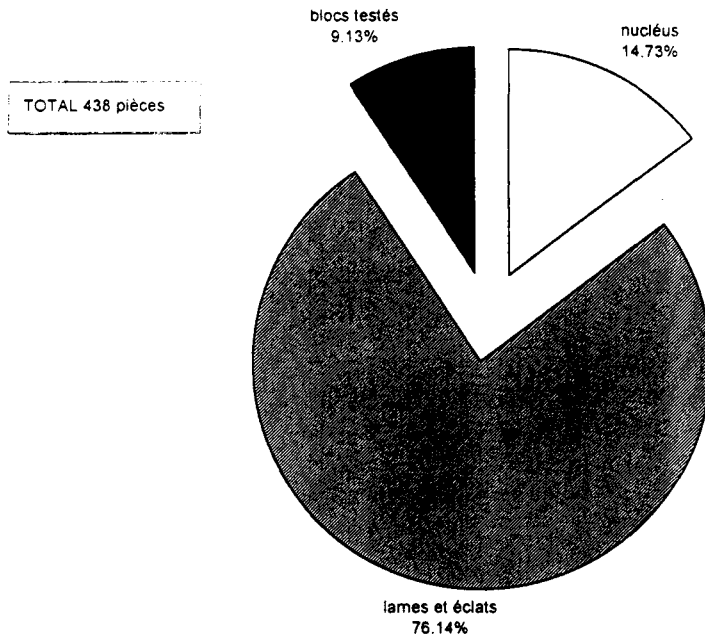


Fig. 11

POIDS SEQUENCE PALEOLITHIQUE MOYEN

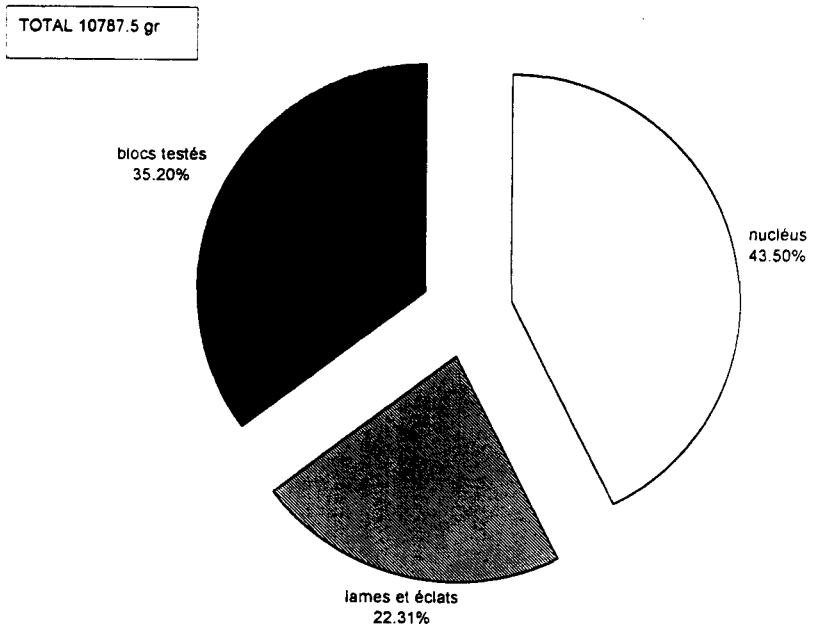


Fig. 12

LONGUEUR DES ECLATS ENTIERES PREPARES

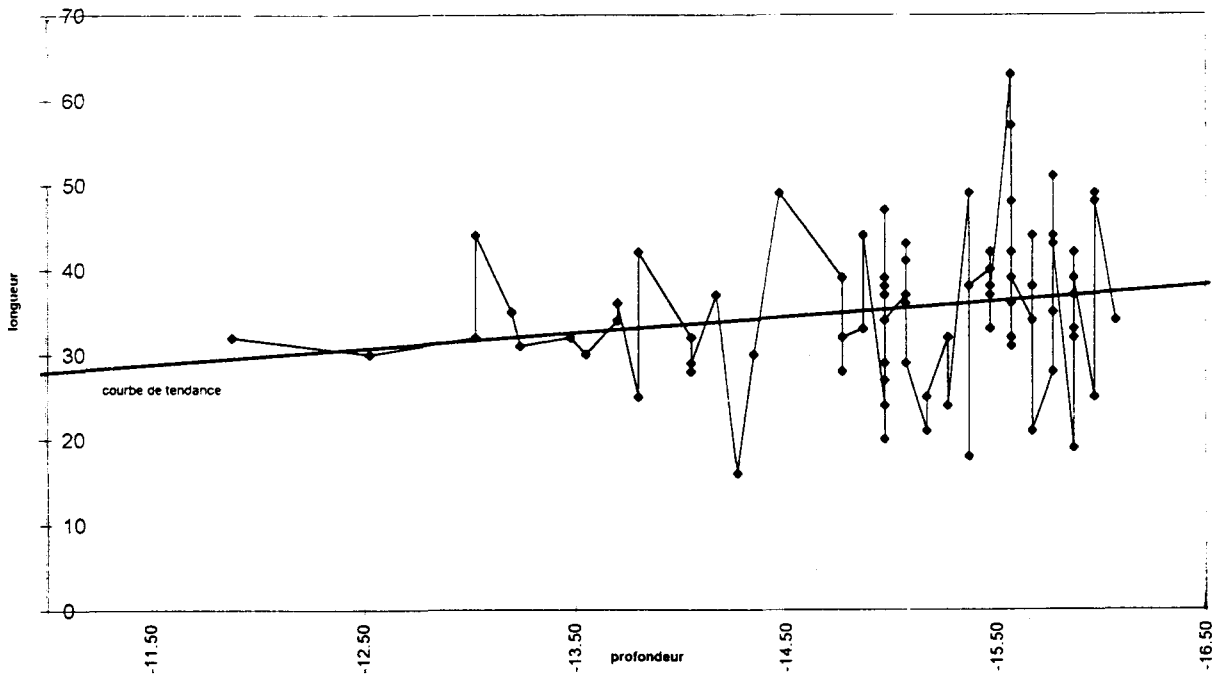


Fig. 13